

**STUDI *IN SILICO* SENYAWA ASAM FENOLAT JAMUR
TIRAM PUTIH (*Pleurotus ostreatus* (Jacq.) P.Kumm.)
SEBAGAI INHIBITOR TIROSINASE**



Skripsi

Diajukan untuk Memenuhi Salah Satu Syarat Meraih Gelar
Sarjana Farmasi (S.Farm.) Program Studi Farmasi
pada Fakultas Kedokteran dan Ilmu Kesehatan
UIN Alauddin Makassar

Oleh:

HAFIFAH NURFAIDAH

NIM: 70100115088

**FAKULTAS KEDOKTERAN DAN ILMU KESEHATAN
UIN ALAUDDIN MAKASSAR
2023**

**STUDI *IN SILICO* SENYAWA ASAM FENOLAT JAMUR
TIRAM PUTIH (*Pleurotus ostreatus* (Jacq.) P.Kumm.)
SEBAGAI INHIBITOR TIROSINASE**



Skripsi

Diajukan untuk Memenuhi Salah Satu Syarat Meraih Gelar
Sarjana Farmasi (S.Farm.) Program Studi Farmasi
pada Fakultas Kedokteran dan Ilmu Kesehatan
UIN Alauddin Makassar

Oleh:

HAFIFAH NURFAIDAH

NIM: 70100115088

**FAKULTAS KEDOKTERAN DAN ILMU KESEHATAN
UIN ALAUDDIN MAKASSAR
2023**

PERNYATAAN KEASLIAN SKRIPSI

Mahasiswa yang bertanda tangan di bawah ini:

Nama : Hafifah Nurfaidah
NIM : 70100115088
Tempat/Tgl. Lahir : Padang Sappa, 24 Oktober 1996
Program Studi : Farmasi
Fakultas : Kedokteran dan Ilmu Kesehatan
Alamat : Jl. H.M. Yasin Limpo, Gowa
Judul : Studi *In Silico* Senyawa Asam Fenolat Jamur Tiram Putih
(*Pleurotus ostreatus* (Jacq.) P.Kumm.) sebagai Inhibitor
Tirosinase

Menyatakan dengan sesungguhnya dan penuh kesadaran bahwa skripsi ini benar adalah hasil karya sendiri. Jika di kemudian hari terbukti bahwa ia merupakan duplikat, tiruan, plagiat, atau dibuat oleh orang lain, sebagian atau seluruhnya, maka skripsi dan gelar yang diperoleh karenanya batal demi hukum.

Gowa, Januari 2023

Penulis,



Hafifah Nurfaidah
NIM: 70100115088

PENGESAHAN SKRIPSI

Skripsi yang berjudul, “*Studi In Silico* Senyawa Asam Fenolat Jamur Tiram Putih (*Pleurotus ostreatus* (Jacq.) P.Kumm.) sebagai Inhibitor Tirosinase” yang disusun oleh Hafifah Nurfaidah, NIM: 70100115088, mahasiswa Program Studi Farmasi pada Fakultas Kedokteran dan Ilmu Kesehatan UIN Alauddin Makassar, telah diuji dan dipertahankan dalam sidang munaqasyah yang diselenggarakan pada hari Selasa, 24 Januari 2023 M, bertepatan dengan 1 Rajab 1444 H, dinyatakan telah dapat diterima sebagai salah satu syarat untuk memperoleh gelar Sarjana dalam Fakultas Kedokteran dan Ilmu Kesehatan, Program Studi Farmasi (dengan beberapa perbaikan).

Gowa, 24 Januari 2023 M

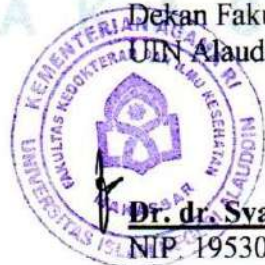
1 Rajab 1444 H

DEWAN PENGUJI

Ketua	: Dr. dr. Syatirah Jalaluddin, Sp.A., M.Kes.	(.....)
Sekretaris	: Nur Syamsi Dhuha, S.Farm., M.Si.	(.....)
Munaqisyi I	: apt. Nurul Muhlisah Maddeppungeng, S.Si., M.Si.	(.....)
Munaqisyi II	: Dr. Hj. Nurlaelah Abbas, Lc. M.A.	(.....)
Pembimbing I	: Nur Syamsi Dhuha, S.Farm., M.Si.	(.....)
Pembimbing II	: Dwi Wahyuni Leboe, S.Si., M.Si.	(.....)

Diketahui oleh:

Dekan Fakultas Kedokteran dan Ilmu Kesehatan
UIN Alauddin Makassar,



Dr. dr. Syatirah Jalaluddin, Sp.A., M.Kes.
NIP. 19530203 198312 1 001

KATA PENGANTAR

بِسْمِ اللَّهِ الرَّحْمَنِ الرَّحِيمِ

Alhamdulillah, puji dan syukur penulis panjatkan ke hadirat Allah Swt., karena atas limpahan rahmat dan taufik-Nya sehingga penulis dapat merampungkan skripsi ini. Shalawat dan taslim semoga senantiasa tercurah kepada nabi besar Muhammad saw. beserta keluarganya, sahabat, dan para pengikutnya.

Skripsi yang berjudul “Studi *In Silico* Senyawa Asam Fenolat Jamur Tiram Putih (*Pleurotus ostreatus* (Jacq.) P.Kumm.) sebagai Inhibitor Tirosinase” ini, disusun sebagai salah satu syarat untuk meraih gelar Sarjana Farmasi pada Program Studi Farmasi, Fakultas Kedokteran dan Ilmu Kesehatan, Universitas Islam Negeri Alauddin Makassar.

Penulis menyadari bahwa dalam penyusunan skripsi ini, tidak lepas dari dukungan, bimbingan, dan bantuan dari berbagai pihak. Melalui kesempatan ini penulis menyampaikan ucapan terima kasih yang sebesar-besarnya kepada:

1. Prof. H. Hamdan Juhannis, M.A., Ph.D., selaku Rektor Universitas Islam Negeri Alauddin Makassar, beserta jajarannya.
2. Dr. dr. Syatirah Jalaluddin, Sp.A., M.Kes., selaku Dekan Fakultas Kedokteran dan Ilmu Kesehatan Universitas Islam Negeri Alauddin Makassar, beserta jajarannya.
3. apt. Surya Ningsi, S.Si., M.Si., selaku ketua Program Studi Farmasi pada Fakultas Kedokteran dan Ilmu Kesehatan Universitas Islam Negeri Alauddin Makassar.
4. Nur Syamsi Dhuha, S.Farm., M.Si. dan Dwi Wahyuni Leboe, S.Si., M.Si., selaku pembimbing I dan II, yang telah banyak meluangkan waktunya memberikan arahan, bimbingan, dan masukan selama penelitian dan penulisan skripsi ini.

5. apt. Nurul Muhlisah Maddeppungeng, S.Si., M.Si., selaku penguji kompetensi yang telah banyak memberikan saran dan masukan demi peningkatan kualitas skripsi ini.
6. Dr. Hj. Nurlaelah Abbas, Lc., M.A., selaku penguji agama yang telah banyak memberikan saran dan masukan demi peningkatan kualitas skripsi ini khususnya pada integrasi keislaman.
7. Dr. apt. Mukhriani, S.Si., M.Si., selaku penasehat akademik yang telah membimbing penulis selama perkuliahan.
8. Seluruh dosen, laboran, dan staf Program Studi Farmasi yang telah memberikan banyak ilmu pengetahuan dan bimbingannya.
9. Kedua orang tua tercinta, yang senantiasa memberikan doa, motivasi, dan dukungan kepada penulis secara moril maupun materiil selama penyusunan skripsi ini, juga kepada saudari penulis, serta keluarga besar atas doa dan semangat yang diberikan kepada penulis.
10. Teman-teman angkatan 2015 “Pulvis” atas kebersamaan dalam suka dan duka selama berkuliah di Farmasi.

Penulis menyadari bahwa skripsi ini masih jauh dari kata sempurna. Oleh karena itu, kritik dan saran yang membangun sangat diharapkan oleh penulis. Semoga skripsi ini bermanfaat bagi pembaca.

Gowa, Januari 2023

Penulis,



Hafifah Nurfaidah
NIM: 70100115088

DAFTAR ISI

PERNYATAAN KEASLIAN SKRIPSI.....	ii
KATA PENGANTAR	iv
DAFTAR TABEL.....	viii
DAFTAR GAMBAR	ix
DAFTAR LAMPIRAN.....	xi
ABSTRAK.....	xii
ABSTRACT.....	xiii
BAB I PENDAHULUAN.....	1
A. Latar Belakang.....	1
B. Rumusan Masalah	4
C. Definisi Operasional dan Ruang Lingkup Penelitian	4
D. Kajian Pustaka.....	6
E. Tujuan dan Manfaat Penelitian.....	7
BAB II TINJAUAN TEORETIS	9
A. Melanin, Tirosinase, dan Melanogenesis	9
B. Hiperpigmentasi	11
C. Inhibitor Tirosinase	12
D. Jamur Tiram Putih (<i>Pleurotus ostreatus</i> (Jacq.) P.Kumm.)	13
E. Protein.....	16
F. Target Aksi Obat	21
G. Interaksi Protein dengan Ligan.....	22
H. <i>Molecular Docking</i>	24
I. Hukum Lima Lipinski	26
J. Analisis ADMET.....	27
K. Database	28
L. Aplikasi Penunjang.....	29
M. Tinjauan Islam.....	32

BAB III METODOLOGI PENELITIAN	35
A. Jenis dan Lokasi Penelitian	35
B. Pendekatan Penelitian.....	35
C. Instrumen Penelitian.....	35
D. Teknik Pengolahan dan Analisis Data.....	40
BAB IV HASIL PENELITIAN DAN PEMBAHASAN	44
A. Hasil Penelitian.....	44
B. Pembahasan	54
BAB V PENUTUP	63
A. Kesimpulan.....	63
B. Implikasi Penelitian.....	63
KEPUSTAKAAN	64
LAMPIRAN.....	67
DAFTAR RIWAYAT HIDUP	78



DAFTAR TABEL

Tabel 1. Struktur ligan pembanding dan ligan uji.....	37
Tabel 2. Interaksi ligan dengan residu asam amino pada protein 5I38.....	45
Tabel 3. Hasil prediksi <i>drug-likeness</i> berdasarkan aturan Lipinski	53
Tabel 4. Hasil prediksi ADMET	54



DAFTAR GAMBAR

Gambar 1. Melanogenesis.....	11
Gambar 2. Jamur tiram putih (<i>Pleurotus ostreatus</i> (Jacq.) P.Kumm.)	13
Gambar 3. Struktur kimia dan derivat HCA dan HBA	15
Gambar 4. Struktur kimia senyawa asam fenolat	16
Gambar 5. 20 Jenis asam amino dalam tubuh.....	17
Gambar 6. (a) Struktur sekunder α -helix; (b) Struktur sekunder β -pleated; (c) Struktur sekunder secara keseluruhan.....	19
Gambar 7. Interaksi penstabilan protein	20
Gambar 8. Struktur kuartener protein	21
Gambar 9. Representasi bentuk <i>binding pocket</i>	22
Gambar 10. Struktur 3D tirosinase (kode PDB: 5I38).....	36
Gambar 11. Hasil preparasi protein 5I38: (a) Tampilan 3D <i>molecular surface</i> ; (b) <i>native ligand</i> asam kojat yang telah dipisahkan	44
Gambar 12. Superposisi ligan hasil <i>redocking</i> (biru) dan <i>native ligand</i> asam kojat (hijau).....	44
Gambar 13. Superposisi ligan hasil simulasi <i>docking</i> pada <i>binding site</i> protein 5I38	46
Gambar 14. Interaksi molekuler asam kojat dengan asam amino protein 5I38	47
Gambar 15. Interaksi molekuler asam ferulat dengan protein 5I38.....	47
Gambar 16. Interaksi molekuler asam galat dengan protein 5I38	48
Gambar 17. Interaksi molekuler asam gentisat dengan protein 5I38.....	48
Gambar 18. Interaksi molekuler asam homogentisat dengan protein 5I38.....	49
Gambar 19. Interaksi molekuler asam kafeat dengan protein 5I38	49
Gambar 20. Interaksi molekuler asam klorogenat dengan protein 5I38	50
Gambar 21. Interaksi molekuler asam p-hidroksibenzoat dengan protein 5I38	50
Gambar 22. Interaksi molekuler asam p-kumarat dengan protein 5I38.....	51
Gambar 23. Interaksi molekuler asam protokatekuat dengan protein 5I3	51
Gambar 24. Interaksi molekuler asam sinamat dengan protein 5I38.....	52

Gambar 25. Interaksi molekuler asam sinapat dengan protein 5I38..... 52

Gambar 26. Interaksi molekuler asam vanilat dengan protein 5I38 53



DAFTAR LAMPIRAN

Lampiran 1. Skema kerja	67
Lampiran 2. Hasil <i>docking</i> ligan uji pada protein 5I38.....	69
Lampiran 3. Hasil prediksi <i>drug-likeness</i>	72



UNIVERSITAS ISLAM NEGERI
ALAUDDIN
M A K A S S A R

ABSTRAK

Nama : Hafifah Nurfaidah

NIM : 70100115088

Judul : Studi *In Silico* Senyawa Asam Fenolat Jamur Tiram Putih (*Pleurotus ostreatus* (Jacq.) P.Kumm.) sebagai Inhibitor Tirosinase

Hiperpigmentasi merupakan gangguan pigmentasi kulit di mana area kulit tertentu menjadi lebih gelap daripada kulit di sekitarnya. Kondisi ini menyebabkan masalah estetika bagi penderitanya. Salah satu cara menangani hiperpigmentasi adalah melalui inhibisi enzim kunci sintesis melanin yaitu tirosinase. Jamur tiram putih (*Pleurotus ostreatus* (Jacq.) P.Kumm.) adalah salah satu jamur pangan dari kelompok Basidiomycota yang memiliki potensi sebagai inhibitor tirosinase. Ekstrak *Pleurotus ostreatus* (Jacq.) P.Kumm. telah terbukti secara *in vitro* memiliki kemampuan menginhibisi enzim tirosinase karena kandungan senyawa fenoliknya. Asam fenolat merupakan senyawa fenolik dominan pada *Pleurotus ostreatus* (Jacq.) P.Kumm. Penelitian ini bertujuan untuk mencari senyawa asam fenolat pada *Pleurotus ostreatus* (Jacq.) P.Kumm. yang berpotensi sebagai inhibitor enzim tirosinase. Senyawa asam fenolat yang terdapat pada *Pleurotus ostreatus* (Jacq.) P.Kumm. ditelusuri melalui studi pustaka kemudian dianalisis kemampuan inhibisinya melalui *molecular docking*, dievaluasi sifat *drug-likeness*-nya berdasarkan aturan Lipinski, dan profil ADMET-nya menggunakan situs SwissADME dan admetSAR. Hasilnya kemudian dibandingkan dengan ligan pembanding asam kojat. Hasil *molecular docking* menunjukkan bahwa asam kafeat paling berpotensi sebagai inhibitor tirosinase karena memiliki ΔG paling negatif yaitu -6,5 kkal/mol sehingga memiliki afinitas terbesar terhadap enzim tirosinase. Visualisasi hasil *molecular docking* menginformasikan bahwa asam kafeat berinteraksi dengan residu asam amino His208 dan Val218. Hasil prediksi *drug-likeness* dan profil ADMET menunjukkan bahwa asam kafeat memenuhi aturan Lipinski; memiliki profil absorpsi, distribusi, metabolisme, yang lebih baik dibanding asam kojat dengan profil toksisitas tidak toksik namun dapat memicu sensitisasi kulit.

Kata kunci: *molecular docking*, *drug-likeness*, profil ADMET, tirosinase, asam fenolat, *Pleurotus ostreatus* (Jacq.) P.Kumm.

ABSTRACT

Name : Hafifah Nurfaidah
Student ID Number : 70100115088
Title : **In Silico Study of Phenolic Acid Compounds of White Oyster Mushroom (*Pleurotus ostreatus* (Jacq.) P.Kumm.) as a Tyrosinase Inhibitor**

Hyperpigmentation is a skin pigmentation disorder in which specific areas of the skin become darker than the surrounding skin. This condition causes aesthetic problems for the sufferers. One way to treat hyperpigmentation is through inhibiting the key enzyme for melanin synthesis which is tyrosinase. White oyster mushroom (*Pleurotus ostreatus* (Jacq.) P.Kumm.) is one of the edible mushrooms from the Basidiomycota group, which has the potential as a tyrosinase inhibitor. *Pleurotus ostreatus* (Jacq.) P.Kumm. has been proven in vitro to have the ability to inhibit the tyrosinase enzyme due to its phenolic compound content. Phenolic acid is the most abundant phenolic compound in *Pleurotus ostreatus* (Jacq.) P.Kumm. This study aims to find the most potent tyrosinase inhibitor of phenolic acid compounds from *Pleurotus ostreatus* (Jacq.) P.Kumm. The *Pleurotus ostreatus* (Jacq.) P.Kumm. phenolic acid compounds were searched through literature studies and then analyzed its inhibitory ability through molecular docking and evaluated its drug-likeness properties based on Lipinski rules and the ADMET profile by using the SwissADME and admetSAR sites and then compared with the control ligand kojic acid. The results of molecular docking showed that caffeic acid has the best potential as tyrosinase inhibitor because it has the most negative ΔG of -6.5 kcal/mol, thus has the best affinity with the tyrosinase enzyme. Visualization of molecular docking results informs that caffeic acid interacts with residues His208 and Val218. The result of the drug-likeness prediction and the ADMET profile showed that caffeic acid complies with the Lipinski rule; has a fairly good absorption, distribution, and metabolism, not toxic but can trigger skin sensitization.

Keywords: molecular docking, drug-likeness, ADMET profile, tyrosinase, phenolic acid, *Pleurotus ostreatus* (Jacq.) P.Kumm.

BAB I

PENDAHULUAN

A. Latar Belakang

Melanin merupakan pigmen yang memberi warna pada mata, kulit, dan rambut manusia. Pada kulit, melanin dibentuk oleh sel melanosit melalui proses melanogenesis. Pada dasarnya, melanin memiliki fungsi fotoprotektif terhadap dampak buruk paparan sinar UV, akan tetapi produksi melanin yang berlebihan dapat menyebabkan masalah hiperpigmentasi, seperti *dark spot*, lentigo, melasma, dan melanoderma postinflamasi (Pillaiyar dkk., 2017: 403).

Hiperpigmentasi merupakan gangguan pigmentasi kulit yang disebabkan karena adanya peningkatan produksi melanin dan pendistribusian melanin yang tidak merata, pada kondisi ini akan menyebabkan penggelapan pada kulit dan timbulnya bercak-bercak berwarna gelap pada bagian tertentu. Kondisi ini dapat disebabkan oleh banyak faktor, baik internal maupun eksternal di antaranya perubahan hormonal, inflamasi, cedera kulit, eksim, obat-obatan tertentu, dan paparan sinar UV. Meskipun hiperpigmentasi tidak dianggap sebagai kelainan yang berbahaya atau mematikan, namun kemunculan bercak gelap akibat hiperpigmentasi ini dapat mengganggu penampilan fisik dan mempengaruhi kualitas hidup seseorang (Nautiyal dan Wairkar, 2021: 1001).

Salah satu upaya penanganan hiperpigmentasi adalah dengan menghambat aktivitas enzim tirosinase. Tirosinase merupakan enzim kunci yang terlibat dalam proses melanogenesis (biosintesis melanin) dalam sel melanosit. Tirosinase menjadi target utama untuk menghambat produksi melanin karena enzim ini bertanggung

jawab dalam proses katalisasi hampir semua jalur pada reaksi enzimatik melanogenesis. Tirosinase mengkatalisis konversi substrat tirosin menjadi 3,4-dihydroxyphenylalanine (L-DOPA) dan L-DOPA menjadi Dopakuinon. Dopakuinon yang terbentuk mengalami transformasi lebih lanjut menjadi melanin yang memberikan warna gelap pada kulit (Zolghadri dkk., 2019: 280). Proses konversi ini merupakan titik kritis melanogenesis dan penghambatan pada enzim tirosinase akan menurunkan konversi substrat. Dengan menurunnya konversi substrat, maka akan terjadi penurunan produksi melanin sehingga pembentukan warna gelap di kulit dapat dicegah (Lukitaningsih, 2015: 8).

Berbagai agen inhibitor tirosinase yang populer seperti hidrokuinon, asam kojat, arbutin, dan asam azelat telah digunakan sebagai agen pencerah kulit pada kosmetik karena potensi terapeutiknya yang bagus. Namun, beberapa kasus melaporkan terkait potensi mutagenisitas, karsinogenitas, dan reaksi merugikan dari beberapa senyawa tersebut (Masum dkk., 2019: 45). Sehingga, diperlukan upaya untuk mengembangkan inhibitor tirosinase baru dari sumber alami yang relatif lebih aman namun dengan efektivitas yang lebih baik.

Jamur tiram putih (*Pleurotus ostreatus* (Jacq.) P. Kumm.) adalah salah satu jamur pangan dari kelompok Basidiomycota yang memiliki potensi sebagai inhibitor tirosinase. Penelitian yang dilakukan Alam dkk., (2010) melaporkan bahwa ekstrak metanol jamur tiram putih (*Pleurotus ostreatus* (Jacq.) P.Kumm.) memiliki aktivitas inhibisi tirosinase yang lebih baik dibanding ekstrak air panas dan ekstrak aseton. Hasil analisis *High Performance Liquid Chromatography* (HPLC) pada ekstrak menunjukkan adanya kandungan senyawa fenolik. Aktivitas inhibisi tirosinase ekstrak jamur tiram ini disinyalir disebabkan oleh keberadaan gugus hidroksil pada

struktur senyawa fenolik yang membentuk ikatan hidrogen pada situs aktif enzim tirosinase yang kemudian menurunkan aktivitas enzimatisnya.

Berdasarkan studi literatur yang dilakukan oleh Selvamani dkk., (2019) dan Piska dkk., (2016), menyebutkan bahwa asam fenolat merupakan golongan senyawa fenolik dominan yang terdapat pada jamur tiram. Senyawa asam fenolat yang telah teridentifikasi jamur tiram meliputi asam ferulat, asam galat, asam gentisat, asam homogentisat, asam kafeat, asam klorogenat, asam p-hidroksibenzoat, asam p-kumarat, asam protokatekuat, asam sinamat, asam sinapat, dan asam vanilat. Untuk mengetahui senyawa asam fenolat mana yang paling berpotensi menghambat aktivitas tirosinase dapat dipelajari melalui pendekatan secara komputasional (*in silico*). *In silico* adalah metode penelitian yang memanfaatkan teknologi komputasi dan *database* untuk penelitian pengembangan obat. Pendekatan secara *in silico* ini dapat memberikan manfaat karena mempersempit fokus riset, menghemat biaya penelitian, dan mengefektifkan waktu penelitian.

Molecular docking atau penambatan molekuler merupakan salah satu jenis uji *in silico* yang banyak digunakan. *Molecular docking* berperan penting dalam keberhasilan desain obat secara struktural dan telah banyak digunakan di dunia industri maupun akademik. *Molecular docking* adalah proses di mana dua molekul, yakni molekul kecil (ligan) dipasangkan pada sisi aktif makromolekul (protein, enzim) melalui simulasi dalam ruang 3D. *Molecular docking* ini mampu memprediksi afinitas serta gambaran interaksi molekuler antara ligan dengan protein/enzim yang menjadi targetnya secara efisien.

Evaluasi *drug-likeness* senyawa kandidat obat secara umum dilakukan berdasarkan aturan Lipinski (*Rule of Five*) sedangkan prediksi ADMET (absorpsi,

distribusi, metabolisme, dan toksisitas) dapat memberikan informasi mengenai bioavailabilitas oral, permease sel, metabolisme, eliminasi, dan toksisitas yang menjadi karakteristik farmakokinetik dan farmakodinamik dari sebuah molekul obat.

Dalam upaya mengembangkan potensi senyawa alami yang memiliki aktivitas inhibitor tirosinase, maka dalam penelitian ini dilakukan studi secara *in silico* yang meliputi *molecular docking*, prediksi *drug-likeness*, dan prediksi profil ADMET senyawa asam fenolat pada jamur tiram putih. Melalui penelitian ini diharapkan akan didapatkan senyawa yang dapat dikembangkan lebih lanjut sebagai agen depigmentasi kulit untuk pengobatan hiperpigmentasi.

B. Rumusan Masalah

1. Manakah senyawa asam fenolat pada jamur tiram putih (*Pleurotus ostreatus* (Jacq.) P.Kumm.) yang berpotensi sebagai inhibitor tirosinase berdasarkan pendekatan metode *molecular docking*?
2. Bagaimana gambaran interaksi molekuler senyawa asam fenolat pada jamur tiram putih (*Pleurotus ostreatus* (Jacq.) P.Kumm.) terhadap *binding site* tirosinase?
3. Bagaimana prediksi *drug-likeness* dan profil ADMET senyawa asam fenolat jamur tiram putih (*Pleurotus ostreatus* (Jacq.) P.Kumm.) secara *in silico*?

C. Definisi Operasional dan Ruang Lingkup Penelitian

1. Definisi Operasional

- a. *In silico* adalah metode penelitian yang memanfaatkan teknologi komputasi dan *database* untuk penelitian pengembangan obat.

- b. *Molecular docking* (penambatan molekuler) adalah metode simulasi secara komputasi yang digunakan untuk memprediksi afinitas pengikatan dan interaksi suatu molekul kecil (ligan) dengan protein dengan memasang suatu molekul ligan pada sisi aktif dari protein/reseptor.
- c. ADMET merupakan singkatan dalam farmakokinetik dan farmakologi untuk proses absorpsi, distribusi, metabolisme, ekskresi, dan toksisitas, yang menggambarkan tentang disposisi dan nasib senyawa kimia/obat dalam tubuh organisme khususnya manusia.
- d. *Drug-likeness* (sifat mirip obat) merupakan istilah yang digunakan untuk menilai secara kualitatif peluang suatu molekul/senyawa untuk menjadi obat oral sehubungan dengan bioavailabilitasnya.
- e. Jamur tiram putih (*Pleurotus ostreatus* (Jacq.) P.Kumm.) adalah salah satu jamur pangan dari kelompok Basidiomycota dengan ciri-ciri umum tubuh buah berwarna putih hingga krem dan tudungnya berbentuk setengah lingkaran mirip cangkang tiram.
- f. Asam fenolat merupakan golongan senyawa fenolik hasil metabolit sekunder dari jamur tiram putih, yang pada strukturnya mengandung cincin fenolik dan gugus fungsi karboksil.
- g. Inhibitor adalah molekul yang mengikat enzim dan dapat menurunkan aktivitasnya.
- h. Tirosinase adalah enzim yang berperan penting dalam jalur sintesis melanin (melanogenesis).

2. Ruang Lingkup Penelitian

Ruang lingkup penelitian ini meliputi bidang kimia medisinal dan biokimia.

D. Kajian Pustaka

1. Taofiq dkk., (2016) dengan judul *review "Mushrooms Extract and Compounds in Cosmetics, Cosmeceuticals and Nutricosmetics"* memaparkan bahwa jamur dapat menjadi sumber alami senyawa bioaktif yang potensial digunakan sebagai bahan kosmetik dan mengobati beberapa penyakit kulit. Ekstrak dari berbagai spesies jamur dilaporkan memiliki efek sebagai antioksidan, antiinflamasi, antihyaluronidase, antikolagenase dan antielastase, antimikroba serta antitirosinase.
2. Alam, dkk (2010) dengan judul penelitian "*Antioxidant Activities and Tyrosinase Inhibitory Effects of Different Extracts from Pleurotus ostreatus Fruiting Bodies*" menyatakan bahwa jamur tiram memiliki aktivitas antioksidan dan efek penghambatan terhadap enzim tirosinase. Sebanyak 0.125-1.0 mg/mL ekstrak aseton, metanol dan air panas menghambat aktivitas enzim tirosinase secara berturut-turut sebesar 11.37-52.05%, 11.36-59.56% dan 9.60-49.60%. Efek penghambatan tirosinase ekstrak metanol jamur tiram putih lebih baik ketimbang ekstrak air panas dan ekstrak aseton.
3. Palacios dkk., (2011) dengan judul penelitian "*Antioxidant Properties of Phenolic Compounds Occurring in Edible Mushrooms*" mengidentifikasi senyawa-senyawa fenolik yang terkandung pada ekstrak metanol beberapa jenis jamur konsumsi. Pada jamur tiram, senyawa fenolik yang teridentifikasi antara lain dari golongan asam fenolat, yaitu asam p-kumarat, asam ferulat, asam galat, asam p-hidroksibenzoat, asam protokatekuat dan asam homogentisik dengan kandungan tertinggi dibanding jamur lainnya.

4. Gasecka dkk., (2016) dengan judul penelitian “*Phenolic Composition and Antioxidant Properties of Pleurotus ostreatus and Pleurotus eryngii Enriched with Selenium and Zinc*” mengidentifikasi beberapa derivat asam fenolat yakni 4-hidroksibenzoat, ferulat, p-kumarat, protokatekuat, t-sinamat dan asam vanilat pada ekstrak metanol tubuh buah *P.ostreatus* yang ditumbuhkan pada substrat yang diperkaya selenium-zink.
5. Piska dkk., (2016) dengan judul *review* “*Edible Mushroom Pleurotus ostreatus (Oyster Mushroom) – Its Dietary Significance And Biological Activity*” memaparkan bahwa tubuh buah *P.ostreatus* kaya akan metabolit primer dan sekunder yang dapat digunakan pada pengobatan penyakit diabetes, arteriosklerosis dan kanker. *P.ostreatus* juga merupakan sumber potensial bahan aktif dalam kosmetik dan sediaan topikal lainnya. Dalam *review* juga dipaparkan bahwa senyawa fenolik golongan asam fenolat yang terdapat pada *P.ostreatus* yakni p-hidroksibenzoat, sinapinat, ferulat, p-kumarat, protokatekuat, vanilat, kafeat, galat, homogentisat, gentisat dan klorogenat.

E. Tujuan dan Manfaat Penelitian

1. Tujuan Penelitian

- a. Untuk mengetahui jenis senyawa asam fenolat pada jamur tiram putih (*Pleurotus ostreatus* (Jacq.) P.Kumm.) yang berpotensi sebagai inhibitor tirosinase berdasarkan pendekatan metode *molecular docking*.

- b. Untuk mengetahui gambaran interaksi molekuler senyawa asam fenolat pada jamur tiram putih (*Pleurotus ostreatus* (Jacq.) P.Kumm.) terhadap *binding site* tirosinase.
- c. Untuk mengetahui prediksi *drug-likeness* dan profil ADMET senyawa asam fenolat jamur tiram putih (*Pleurotus ostreatus* (Jacq.) P.Kumm.) secara *in silico*.

2. Manfaat Penelitian

Hasil penelitian ini diharapkan dapat memberikan informasi tentang potensi aktivitas inhibitor tirosinase, gambaran interaksi molekuler, serta prediksi *drug-likeness* dan profil ADMET senyawa asam fenolat jamur tiram putih (*Pleurotus ostreatus* (Jacq.) P.Kumm.) sebagai agen depigmentasi kulit alami untuk pengobatan hiperpigmentasi.

BAB II

TINJAUAN TEORETIS

A. Melanin, Tirosinase, dan Melanogenesis

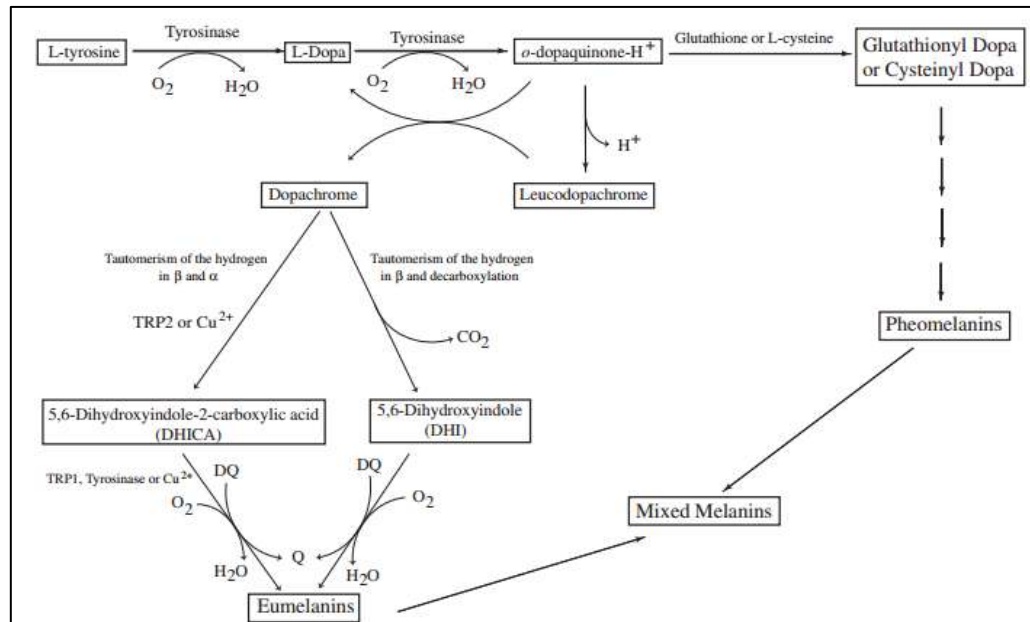
Melanin berperan penting dalam perlindungan kulit terhadap paparan sinar UV yang berbahaya. Melanin merupakan pigmen inti yang bertanggung jawab pada pigmentasi kulit, rambut, dan mata manusia. Dalam kulit, melanin dapat ditemukan dalam dua warna berbeda, yaitu eumelanin yang berwarna coklat kehitaman dan feomelanin yang berwarna kuning kemerahan. Kebanyakan pigmen melanin alami mengandung eumelanin dan feomelanin dan disebut melanin 'campuran' (Masum dkk., 2019: 41).

Tirosinase (*monophenol* atau *o*-difenol, *polyphenol oxidase*) adalah enzim yang berperan pada proses melanogenesis. Tirosinase terletak di membran melanosom dan hanya diproduksi oleh sel melanosit. Fungsi tirosinase adalah mengkatalisis reaksi melanogenesis dari L-tyrosine. Secara struktural, tirosinase merupakan enzim yang mengandung dua ion tembaga (Cu^{2+}) tipe III pada sisi aktifnya yang masing-masing diikat oleh tiga residu histidin yang bertanggung jawab atas aktivitas katalitiknya (Panzella dan Napolitano, 2019: 33).

Melanogenesis merupakan jalur biosintesis pembentukan melanin pada kulit manusia. Melanogenesis terjadi di dalam organel yang terikat membran yang disebut melanosom yang berada di dalam melanosit. Melanin disintesis dalam melanosom dan selanjutnya dipindahkan ke keratinosit epidermis sekitarnya (Masum, dkk., 2019: 41). Tahap awal proses melanogenesis diinisiasi dengan hidroksilasi L-Tyrosine menjadi L-Dopa yang dikatalisis oleh enzim kunci, tirosinase. Langkah pertama ini

merupakan satu-satunya *rate-limiting step* sintesis melanin karena urutan reaksi selanjutnya dapat berlanjut secara spontan pada nilai pH fisiologis. Eumelanin dibentuk melalui serangkaian reaksi oksidasi dari dihydroxyindole (DHI) dan dihydroxyindole-2-carboxylic acid (DHICA), yang merupakan produk reaksi dari Dopachrome. Enzim kedua pada jalur sintesis, yakni tyrosinase-related protein 2 (TYRP-2; Dopachrome tautomerase), mengkatalisis konversi Dopaquinone menjadi Dopachrome, dan kemudian menjadi 5,6-dihydroxyindole (DHI) atau indole 5,6-quinone 2-carboxylic acid (DHICA). TYRP-1 (DHICA oxidase) kemudian mengkatalisis oksidasi DHICA untuk menghasilkan eumelanin. Dengan kehadiran sistein atau glutathione, Dopaquinone diubah menjadi cysteinyl-dopa atau glutathionyl-dopa dan akhirnya dapat menghasilkan pheomelanin. Meski tiga enzim (TYR, TRP-1 dan TRP-2) terlibat dalam jalur melanogenesis, hanya TYR (tyrosinase) yang secara eksklusif diperlukan sebagai katalis *rate-limiting step* untuk melanogenesis (Masum dkk., 2019: 41).

Melanogenesis dapat dinisiasi oleh radiasi UV. Pada kondisi ini, melanogenesis merupakan manifestasi pertahanan untuk melindungi kulit dan ditandai dengan sintesis melanin yang dipercepat dan transfer ke keratinosit, menyebabkan kulit yang terpapar menjadi lebih gelap.



Gambar 1. Melanogenesis

B. Hiperpigmentasi

Hiperpigmentasi merupakan gangguan pigmentasi kulit yang disebabkan oleh peningkatan proses melanogenesis sehingga menyebabkan penggelapan warna kulit. Pada kondisi normal, pigmentasi memiliki efek menguntungkan pada fotoproteksi kulit manusia dari paparan radiasi sinar UV yang berbahaya, akan tetapi produksi melanin yang berlebihan dapat menyebabkan masalah hiperpigmentasi, seperti *dark spot*, lentigo, melasma, dan melanoderma postinflamasi (Pillaiyar dkk., 2017: 403).

Hiperpigmentasi dapat disebabkan oleh banyak faktor, baik internal maupun eksternal di antaranya perubahan hormonal, inflamasi, cedera kulit, eksim, obat-obatan tertentu, dan paparan sinar UV (Nautiyal dan Wairkar, 2021: 1000). Meskipun hiperpigmentasi tidak dianggap sebagai kelainan yang berbahaya atau mematikan, namun kemunculan bercak gelap akibat hiperpigmentasi ini dapat mengganggu

penampilan fisik dan mempengaruhi kualitas hidup seseorang (Nautiyal dan Wairkar, 2021: 1001).

C. Inhibitor Tirosinase

Karena tirosinase adalah enzim yang memainkan peran penting dalam proses melanogenesis, maka tirosinase menjadi target utama untuk menghambat produksi melanin. Sebagian besar kosmetik atau agen pencerah kulit yang tersedia secara komersial adalah inhibitor tirosinase. Banyak inhibitor tirosinase seperti hidrokuinon (HQ), arbutin, asam kojat, asam azelat, asam L-askorbat, asam elagik dan asam traneksamat telah digunakan sebagai agen pemutih kulit. Namun, inhibitor tirosinase tersebut memiliki beberapa kelemahan (Pillaiyar dkk., 2017: 404).

Hidrokuinon berpotensi mutagenik ke sel mamalia dan menimbulkan sejumlah reaksi merugikan termasuk dermatitis kontak, iritasi, eritema, rasa terbakar, leukoderma dan hipokromia. Arbutin, prodrug hidrokuinon, adalah dalam bentuk alaminya arbutin secara kimiawi tidak stabil dan melepaskan hidrokuinon yang dikatabolisme menjadi metabolit benzena dengan potensi toksisitas pada sumsum tulang. Penggunaan asam kojat di kosmetik bersifat terbatas disebabkan karena karsinogenisitasnya dan ketidakstabilannya selama penyimpanan. Asam L-askorbat peka terhadap panas dan cepat terdegradasi dan asam elagik bioavailabilitasnya rendah. Oleh karena itu, sangat perlu dikembangkan inhibitor tirosinase baru dengan sifat seperti obat (Pillaiyar dkk., 2017: 404).

Senyawa referensi yang biasa digunakan sebagai kontrol positif dalam uji penghambatan tirosinase jamur adalah asam kojat dan β -arbutin (Panzella dan Napolitano, 2019: 32).

D. Jamur Tiram Putih (*Pleurotus ostreatus* (Jacq.) P.Kumm.)

1. Klasifikasi (GBIF, 2019)

Kingdom	: Fungi
Filum	: Basidiomycota
Subfilum	: Agaricomycotina
Kelas	: Agaricomycetes
Subkelas	: Agaricomycetidae
Ordo	: Agaricales
Famili	: Pleurotaceae
Genus	: <i>Pleurotus</i>
Spesies	: <i>Pleurotus ostreatus</i> (Jacq.) P.Kumm.



Gambar 2. Jamur tiram putih (*Pleurotus ostreatus* (Jacq.) P.Kumm.) (GBIF, 2019)

2. Morfologi dan habitat

Tubuh buah *Pleurotus ostreatus* (Jacq.) P. Kumm. terdiri atas dua bagian, yaitu tudung (*pileus*) dan tangkai (*stipe/stalk*). Tudung (*pileus*) tumbuh membulat, lebar dan melengkung seperti cangkang tiram berdiameter 5-15 cm, berdaging tebal dengan permukaan atas tudung licin. Warna tudung bervariasi dari putih, abu-abu

hingga krem. Pada bagian bawah tudung terbentuk lapisan seperti insang (*gills*) yang disebut *lamella* untuk menyimpan spora. Tangkai (*stalk*) jamur tiram memiliki panjang 2-6 cm dan berada tidak tepat pada tengah tudung atau mendekati bagian tepi (*lateral*). Tubuh buahnya membentuk rumpun yang memiliki banyak percabangan dan menyatu dalam satu media (Achmad dkk., 2011: 125).

Di alam bebas, jamur tiram tumbuh di permukaan batang pohon yang sudah melapuk maupun yang masih hidup. Jamur ini bisa dijumpai hampir sepanjang tahun pada hutan dan pegunungan yang berdaerah sejuk atau di dataran rendah sampai ketinggian 600 mdpl di lokasi yang memiliki kadar air sekitar 60% dan pH 6-7 (Achmad dkk., 2011: 126).

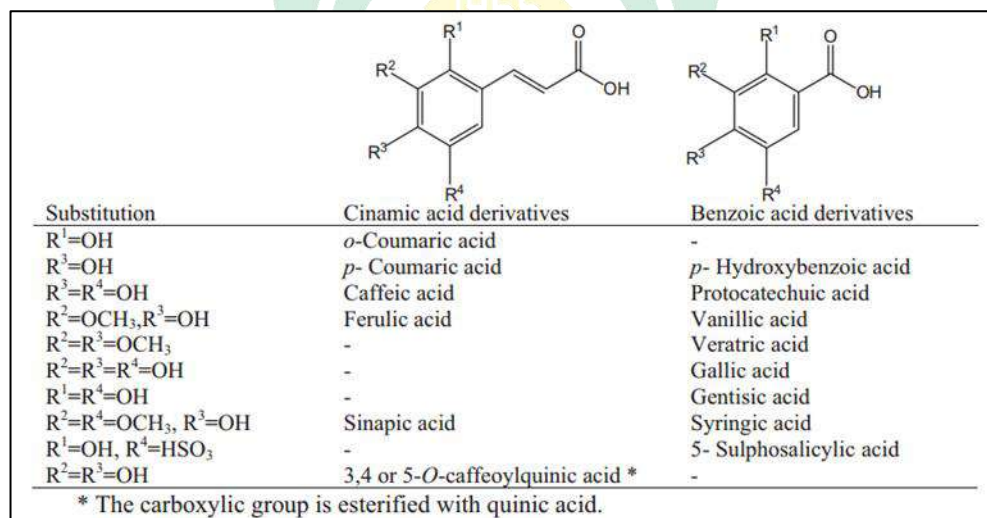
3. Kandungan kimia

Kandungan kimia yang terdapat pada jamur tiram di antaranya adalah senyawa fenolik, terpenoid, polisakarida, lektin, steroid, glikoprotein dan beberapa komponen lipid (lemak). Metabolit sekunder ini dilaporkan memiliki aktivitas farmakologi sebagai antioksidan, antitumor, antibakteri, antiinflamasi, imunomodulator, antitirosinase, hipoglikemik (Taofiq dkk., 2016: 9) antihiperkolesterolemik, antijamur, antivirus dan antihipertensi (Golak-Siwulka dkk., 2018: 15).

4. Senyawa asam fenolat

Senyawa fenolik adalah metabolit sekunder antioksidatif paling melimpah yang terdapat pada jamur. Senyawa ini diproduksi oleh jamur untuk memproteksi diri dari paparan sinar UV, serangga, virus dan bakteri (Heleno dkk., 2015: 502). Beberapa studi membuktikan bahwa senyawa ini mempunyai aktivitas biologis yang tinggi.

Senyawa fenolik memiliki satu atau lebih banyak gugus hidroksil ($-OH$) dalam sistem aromatik. Senyawa fenolik ini dapat dibagi menjadi empat kelompok utama yaitu asam fenolat, fenolik diterpen, flavonoid dan minyak atsiri (Selvamani dkk., 2018: 2). Asam fenolat adalah senyawa fenolik utama yang ditemukan di banyak jamur. Asam fenolat ini terbagi menjadi dua kelompok yaitu asam hidroksibenzoat (*hydroxybenzoic acids/HBA*) dan asam hidroksikinamat (*hydroxycinnamic acids/HCA*) (Heleno dkk., 2015: 502). Gambar berikut menunjukkan beberapa derivat dari HBA dan HBC.

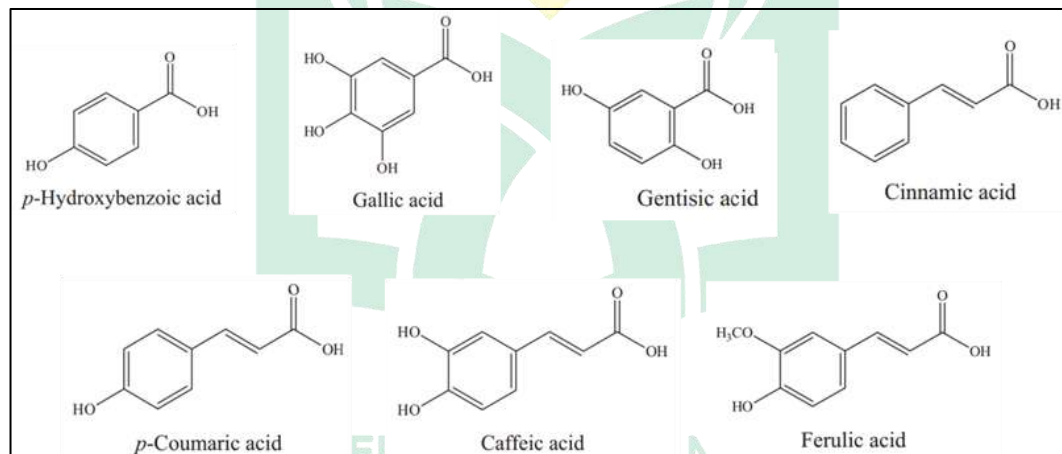


Gambar 3. Struktur kimia dan derivat HCA dan HBA (Heleno dkk., 2015: 502)

Penelitian yang dilakukan oleh Alam dkk., (2010) menunjukkan bahwa ekstrak metanol jamur tiram memiliki aktivitas penghambatan tertinggi terhadap tirosinase dibanding ekstrak aseton dan ekstrak air. Hal ini disebabkan karena adanya senyawa fenolik yang terkandung di dalamnya. Namun, belum diketahui senyawa fenolik apa yang bertanggung jawab terhadap aktivitas tersebut. Penelitian yang dilakukan oleh Palacios dkk., (2011) kemudian berhasil mengidentifikasi senyawa-

senyawa fenolik yang terkandung pada ekstrak metanol beberapa jenis jamur konsumsi. Pada jamur tiram, senyawa fenolik yang teridentifikasi antara lain dari golongan asam fenolat, yaitu asam p-kumarat, asam ferulat, asam galat, asam p-hidroksibenzoat, asam protokatekuat dan asam homogentisik dengan kandungan tertinggi dibanding jamur lainnya.

Penelitian selanjutnya dilakukan oleh Gasecka dkk., (2016) mengidentifikasi beberapa derivat asam fenolat yakni 4-hidroksibenzoat, ferulat, p-kumarat, protokatekuat, t-sinamat dan asam vanilat pada ekstrak metanol tubuh buah *P.ostreatus* yang ditumbuhkan pada substrat yang diperkaya selenium-zink.



Gambar 4. Struktur kimia senyawa asam fenolat (Heleno dkk., 2015)

E. Protein

Unit penyusun dasar suatu protein adalah asam amino. Asam amino merupakan suatu asam α -aminokarboksilat, yang terdiri atas gugus karboksil(-COOH), gugus amina (-NH₃⁺), atom H serta rantai samping (R) yang terikat pada atom karbon α . Atom karbon ini disebut α karena bersebelahan dengan gugus karboksil (asam). Masing-masing residu asam amino bergabung dengan asam amino

lain dengan jenis ikatan kovalen tertentu. "Residu" merupakan asam amino yang kehilangan unsur air saat satu asam amino bergabung dengan yang lain (Nelson dan Cox, 2013: 76).

Terdapat ratusan jenis asam amino dengan rantai samping yang berbeda, akan tetapi dari sekian banyak asam amino hanya ada 20 jenis yang dapat berikatan membentuk suatu protein.

Synthesized in the human body			Essential to the diet		
Amino acid	Codes Three-letter	One-letter	Amino acid	Codes Three-letter	One-letter
Alanine	Ala	A	Histidine	His	H
Arginine	Arg	R	Isoleucine	Ile	I
Asparagine	Asn	N	Leucine	Leu	L
Aspartic acid	Asp	D	Lysine	Lys	K
Cysteine	Cys	C	Methionine	Met	M
Glutamic acid	Glu	E	Phenylalanine	Phe	F
Glutamine	Gln	Q	Threonine	Thr	T
Glycine	Gly	G	Tryptophan	Trp	W
Proline	Pro	P	Valine	Val	V
Serine	Ser	S			
Tyrosine	Tyr	Y			

Gambar 5. 20 Jenis asam amino dalam tubuh (Patrick, 2013: 17)

Berdasarkan bentuknya, protein dapat diklasifikasikan menjadi protein fibrosa dan protein globular. Protein fibrosa mengandung rantai polipeptida yang tersusun dalam ikatan seperti benang yang tidak larut dalam air sementara protein globular cenderung berbentuk bulat dan sebagian besar dapat larut di dalam air. Semua protein struktural adalah protein fibrosa dan kebanyakan enzim adalah protein globular (Bruice, 2014: 1054).

Protein adalah makromolekul yang memiliki fungsi yang sangat penting bagi proses biologis. Berdasarkan fungsinya, protein diklasifikasikan menjadi protein struktural (kolagen, keratin), protein pelindung (antibodi, faktor pembekuan darah),

enzim, hormon dan protein dengan fungsi fisiologis (pengangkut: hemoglobin, lipoprotein plasma; kontraktile otot: aktin) (Bruice, 2014: 1054).

Adapun struktur protein dapat digolongkan menjadi empat macam:

a. Struktur primer

Struktur primer adalah struktur yang sederhana dengan urutan-urutan residu asam amino yang tersusun secara linear dan dihubungkan bersama melalui ikatan peptida.

b. Struktur sekunder

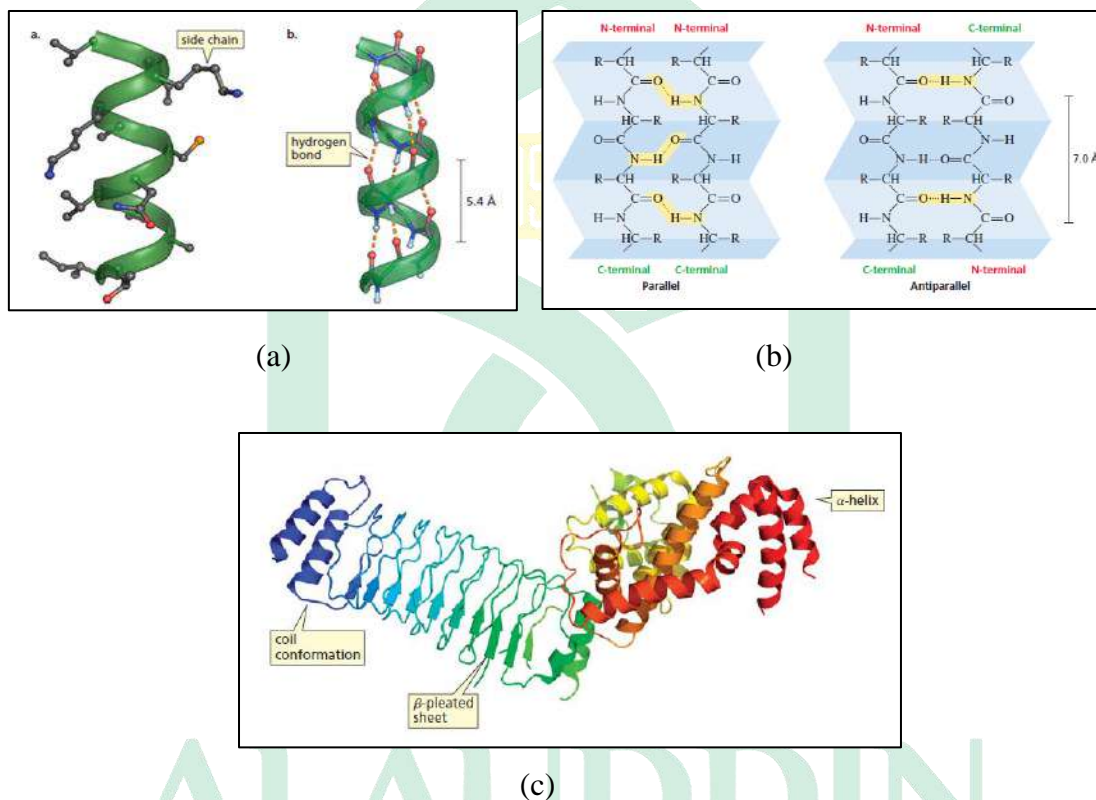
Struktur sekunder menggambarkan konformasi segmen rantai tulang punggung peptida atau protein yang distabilkan oleh ikatan hidrogen antara gugus $=CO$ dan $=NH$. Untuk meminimalkan energi, rantai polipeptida cenderung terlipat dalam struktur geometris yang berulang seperti lembaran α -helix atau β -pleated (Bruice, 2014: 1087).

Dalam struktur sekunder α -helix, tulang punggung polipeptida membentuk kumparan di sepanjang aksis molekul protein. Substituen pada karbon- α asam amino menonjol keluar dari heliks, sehingga meminimalkan regangan sterik. Heliks distabilkan oleh ikatan hidrogen (masing-masing hidrogen melekat pada nitrogen amida yang berikatan hidrogen pada oksigen karbonil dari asam amino sejauh empat asam amino). Karena asam amino memiliki konfigurasi-L, menyebabkan α -helix berputar searah jarum jam saat berputar ke bawah (Bruice, 2014: 1087).

Pada struktur sekunder β -pleated, susunannya menyerupai lembaran yang berlipat-lipat. Struktur ini terbentuk melalui ikatan hidrogen pada rantai peptida yang berdekatan. β -pleated ditemukan dalam dua macam bentuk, yakni β -paralel dan β -antiparalel. Keduanya berbeda dalam hal pola ikatan hidrogennya. Dalam β -paralel,

rantai yang berdekatan terletak pada arah yang sama sementara pada β -antiparalel pada arah yang sebaliknya (Bruice, 2014: 1090).

Sebagian besar seluruh struktur sekunder protein tersusun atas lembaran α -helix atau β -pleated, sisanya dalam bentuk *loop* atau gulungan yang merupakan fragmen polipeptida (Bruice, 2014: 1090).



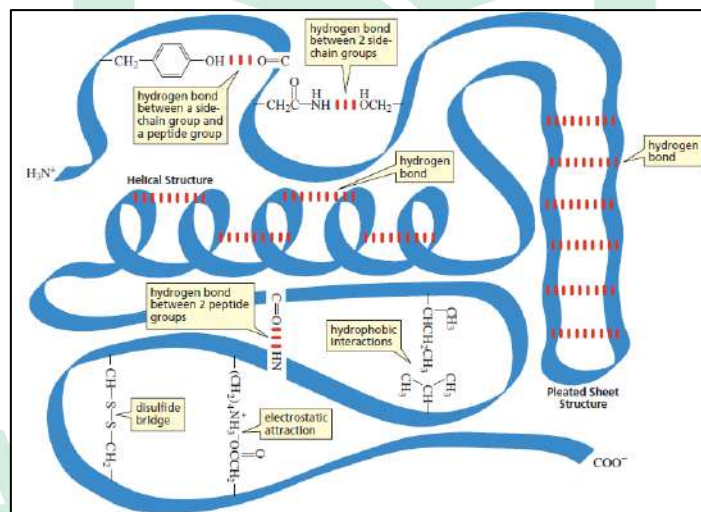
Gambar 6. (a) Struktur sekunder α -helix; (b) Struktur sekunder β -pleated; (c) Struktur sekunder secara keseluruhan (Bruice, 2014)

c. Struktur tersier

Struktur tersier protein adalah susunan tiga dimensi dari semua atom di protein. Protein terlipat secara spontan dalam cairan (tubuh) untuk memaksimalkan kestabilannya. Setiap kali terjadi interaksi untuk menstabilkan antara dua atom,

energi bebas dilepaskan. Semakin banyak energi bebas yang dilepaskan (semakin negatif ΔG°), semakin stabil proteinnya. Oleh sebab itu, protein cenderung melipat dengan cara yang memaksimalkan jumlah interaksi penstabilan (Bruice, 2014: 1092).

Jenis-jenis interaksi penstabilan dalam protein yaitu ikatan disulfida, ikatan hidrogen, elektrostatik (interaksi antara muatan yang berlawanan) dan interaksi hidrofobik (van der Waals). Interaksi ini dapat terjadi antara kelompok peptida (atom dalam tulang punggung protein), antara kelompok rantai samping (substituen α), dan di antara kelompok peptida dan rantai samping. Karena kelompok rantai samping membantu menentukan bagaimana suatu protein terlipat, maka struktur tersier dari suatu protein ditentukan oleh struktur primer (Bruice, 2014: 1092).

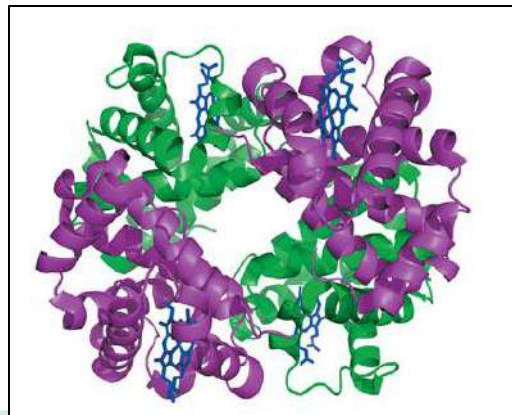


Gambar 7. Interaksi penstabilan protein (Bruice, 2014)

d. Struktur kuartener

Hanya protein dengan beberapa sub unit protein yang memiliki struktur kuartener. Sebuah protein dengan sub unit tunggal disebut monomer, dua sub unit disebut dimer, tiga sub unit disebut trimer, dan empat sub unit disebut tetramer. Pada

struktur kuartener, ikatan ion/elektrostatik lebih berperan penting karena melibatkan interaksi antara permukaan luar protein (Bruice, 2014: 1094).



Gambar 8. Struktur kuartener protein

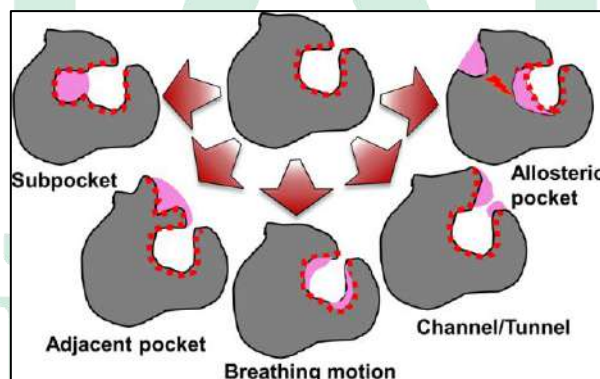
F. Target Aksi Obat

Target aksi obat merupakan suatu protein struktural dan fungsional yang mampu berikatan dengan suatu molekul sinyal atau ligan dan menimbulkan respon farmakologi. Target aksi obat secara spesifik terbagi dalam empat macam, yakni reseptor, kanal ion, enzim, dan transporter. Reseptor merupakan target aksi obat yang paling banyak kelimpahannya yakni sekitar 44% dari keseluruhan target aksi obat di dalam tubuh. Selanjutnya, enzim sebanyak 29%, transporter sebanyak 15%, dan terakhir adalah kanal ion (Khaerunnisa dkk., 2020: 23).

Syarat suatu senyawa dapat dikembangkan menjadi obat ialah memiliki afinitas dan aktivitas intrinsik terhadap protein target aksi (reseptor, kanal ion, enzim, atau transporter). Afinitas ligan didefinisikan sebagai kemampuan ligan berikatan dengan protein target aksi pada tempat ikatan (*binding site*). Sedangkan aktivitas intrinsik merupakan kemampuan suatu ligan mengaktivasi protein reseptor atau

mengalami perubahan konformasi protein dan menimbulkan transduksi sinyal untuk menghasilkan respon biokimia maupun fisiologis (Ikawati, 2014).

Binding site suatu target aksi merupakan suatu ruang protein struktural yang memungkinkan terjadinya ikatan antara ligan dan residu asam amino. Tempat ikatan ini disebut juga dengan *binding pocket* (kantong ikatan). Residu asam amino yang terdapat di sekitar *binding pocket* menentukan karakteristik fisikokimia ikatan, lokasi, bentuk, dan fungsi protein. Secara umum, morfologi *binding pocket* merupakan suatu permukaan protein yang mencekung (*concave*) yang terdapat residu asam amino yang berfungsi pada mekanisme konformasi protein. Berdasarkan bentuk atau morfologinya, *binding pocket* terbagi dalam lima macam, yakni *subpocket*, *adjacent pocket*, *breathing motion*, *channel/tunnel*, dan *allosteric pocket* (Stank dkk., 2016: 809).



Gambar 9. Representasi bentuk *binding pocket*

G. Interaksi Protein dengan Ligan

1. Ikatan kovalen

Ikatan kovalen merupakan ikatan kimia yang paling kuat terjadi antara ligan dan reseptor. Ikatan ini terjadi karena adanya penggunaan pasangan elektron secara

bersama-sama antara dua atom. Ikatan kovalen akan membentuk ikatan yang *irreversible* antara ligan dan reseptor, yang membutuhkan energi sebesar 50-150 kkal/mol untuk memisahkan ikatan tersebut. Efek dari ikatan ini pada durasi respon ialah semakin memperpanjang efek farmakologi (Lemke dan Williams, 2013).

2. Ikatan elektrostatik/ionik

Ikatan elektrostatik dihasilkan dari energi elektrostatik antara dua atom yang berlawanan muatan atau antara ion dan molekul atau antara dua molekul. Ikatan ionik adalah ikatan antara dua ion berlawanan muatan dengan energi ikatan hanya 5 kkal/mol. Contoh Na^+ dengan Cl^- (Muchtaridi, 2018: 55).

3. Ikatan hidrogen

Ikatan hidrogen terbentuk bila suatu atom H terikat pada dua atom elektronegatif seperti O, N, F, Cl, P, S dengan jalan sebagai berikut: $\text{O} - \text{H} \cdots \cdots \text{N}$. Biasanya kekuatan ikatan ini hanya 3-5 kkal/mol dan merupakan ikatan yang relatif lemah. Ikatan ini dapat terjadi pada antar molekul maupun intramolekul. Ikatan hidrogen merupakan ikatan yang ideal terjadi pada interaksi obat dan reseptor karena menghasilkan sifat ikatan yang mudah kembali (*reversible*). Dalam sistem biologis dan interaksi obat dengan H yang terpenting adalah ikatan antara atom H yang terikat oleh O atau N, dengan atom N atau O (Muchtaridi dkk., 2018: 53).

4. Interaksi van der Waals

Interaksi van der Waals merupakan kekuatan tarik menarik antar molekul atau atom yang tidak bermuatan, dan letaknya berdekatan atau jaraknya $\pm 4-6 \text{ \AA}$. Ikatan ini terjadi karena sifat kepolarisasian molekul atau atom. Meskipun secara individu lemah, tetapi hasil penjumlahan ikatan van der Waals merupakan faktor pengikat yang cukup bermakna, terutama untuk senyawa-senyawa yang mempunyai berat

molekul tinggi. Ikatan van der Waals terlibat pada interaksi cincin benzena dengan daerah bidang datar reseptor dan pada interaksi rantai hidrokarbon dengan makromolekul protein atau reseptor (Siswandono, 1998: 78).

5. Ikatan hidrofobik

Ikatan hidrofobik merupakan ikatan yang paling rendah afinitasnya, sehingga ikatan ini akan mudah lepas. Ikatan ini merupakan salah satu kekuatan penting pada proses penggabungan daerah non polar molekul obat dengan daerah non polar reseptor. Daerah non polar molekul obat yang tidak larut dalam air dan molekul-molekul air di sekelilingnya akan bergabung melalui ikatan hidrogen membentuk struktur *quasi-crystalline (iceberg)* (Siswandono, 1998: 79).

Bila dua daerah non polar, seperti gugus hidrokarbon molekul obat dan daerah non polar reseptor, bersama-sama berada dalam lingkungan air, maka akan mengalami suatu penekanan sehingga jumlah molekul air yang kontak dengan daerah-daerah non polar tersebut menjadi berkurang. Akibatnya, struktur *quasi-crystalline* akan pecah menghasilkan peningkatan entropi. Peningkatan energi bebas ini dapat menstabilkan molekul air sehingga tidak kontak dengan daerah non polar (Siswandono, 1998: 79).

H. Molecular Docking

Metode pengujian dengan simulasi komputer disebut dengan *in silico*. Metode ini banyak digunakan sebagai *screening* awal penemuan senyawa obat baru. Kegunaan dari uji *in silico* yaitu mampu memprediksi, memberikan hipotesis dan gambaran interaksi senyawa obat baru dan memberikan kemajuan dalam bidang pengobatan. *Molecular docking* atau penambatan molekuler merupakan salah satu

jenis uji *in silico* yang banyak digunakan. *Molecular docking* berperan penting dalam keberhasilan desain obat secara struktural dan telah banyak digunakan di dunia industri maupun akademik. Pengembangan obat-obatan dengan *molecular docking* dapat memberikan manfaat karena mempersempit fokus riset, menghemat biaya penelitian, dan mengefektifkan waktu penelitian.

Molecular docking mampu memprediksi ikatan non-kovalen antara molekul kecil (ligan) dengan makromolekul (protein, enzim) yang menjadi targetnya secara efisien. Di dalam *molecular docking*, molekul ligan ditambahkan pada situs aktif/situs tambat/*binding site* dari suatu protein yang sedang diam (statik). Tujuan metode ini adalah untuk memprediksi konformasi ikatan yang terjadi serta afinitas ikatan yang terbentuk.

Molecular docking dapat diklasifikasikan menjadi 3 berdasarkan fleksibilitas molekul yaitu *rigid docking* (bersifat rigid/kaku), *semi-fleksible docking* (bersifat semi fleksibel) dan *fleksible docking* (bersifat fleksibel). Tujuan dari *docking* adalah untuk mencapai konformasi protein dan ligan yang optimal. *Docking* membantu dalam mempelajari obat/ligan atau interaksi reseptor/protein dengan mengidentifikasi situs aktif yang cocok pada protein, mendapatkan geometri terbaik dari kompleks ligan–reseptor. *Docking* menjadi dasar untuk penemuan obat secara simulasi komputasi (Imaniastuti, 2011: 18).

Terdapat dua aspek penting dalam *molecular docking*, yaitu fungsi *scoring* dan penggunaan algoritma. Fungsi *scoring* dapat memperkirakan afinitas ikatan antara makromolekul dengan ligan (molekul kecil yang memiliki afinitas terhadap makromolekul). Identifikasi ini didasarkan pada beberapa teori seperti teori energi bebas Gibbs. Nilai energi bebas yang kecil menunjukkan bahwa konformasi yang

terbentuk stabil, sedangkan nilai energi bebas yang besar menunjukkan bahwa konformasi yang terbentuk kurang stabil. Sedangkan penggunaan algoritma berperan dalam penentuan konformasi (*docking pose*) yang paling stabil (*favourable*) dari pembentukan kompleks (Imaniastuti, 2011: 18).

I. Hukum Lima Lipinski

Kriteria obat yang baik harus mengikuti sebuah aturan *Lipinski's Rule of Five* yang dikembangkan oleh Christopher A. Lipinski. *Lipinski's Rule of Five* membantu untuk melihat tingkat absorpsi atau permeabilitas terhadap lipid bilayer yang terdapat di dalam tubuh manusia. Lipinski dkk., (2001) telah menganalisa lebih dari 2000 senyawa obat dalam uji klinis dan menyimpulkan bahwa suatu senyawa obat akan memiliki absorpsi atau permeasi yang baik jika: (1) berat molekul kurang dari 500 Da; (2) nilai logP kurang dari 5; (3) jumlah donor ikatan hidrogen kurang dari 5; dan (4) jumlah akseptor ikatan hidrogen kurang dari 10. Aturan Lipinski dapat menentukan sifat fisikokimia ligan untuk menentukan karakter hidrofobik/hidrofilik suatu senyawa untuk melalui membran sel oleh difusi pasif (Lipinski dkk., 2001).

Sifat *drug-likeness* ligan berdasarkan aturan Lipinski digunakan untuk menentukan karakter hidrofobik/hidrofilik suatu senyawa untuk melalui membran sel secara difusi pasif. Nilai logP menyatakan koefisien kelarutan dalam lemak/air yang memiliki rentang -0,4 – 5. Berat molekul yang lebih dari 500 Da tidak dapat berdifusi menembus membran sel dengan cara difusi pasif. Semakin besar nilai logP, maka semakin hidrofobik molekul tersebut. Molekul yang memiliki sifat terlalu hidrofobik cenderung memiliki tingkat toksisitas yang tinggi karena akan tertahan lebih lama pada lipid bilayer dan terdistribusi lebih luas di dalam tubuh sehingga selektifitas

ikatan terhadap enzim target menjadi berkurang. Nilai logP yang terlalu negatif juga tidak baik karena molekul tersebut tidak dapat melewati membran lipid bilayer. Jumlah donor dan akseptor ikatan hidrogen mendeskripsikan semakin tinggi kapasitas ikatan hidrogen, maka semakin tinggi energi yang dibutuhkan agar proses absorpsi dapat terjadi (Syahputra, 2014: 13).

J. Analisis ADMET

Metode eksperimental dan komputasi yang bermacam-macam telah dikembangkan untuk memperoleh data absorpsi, distribusi, metabolisme, dan ekskresi (ADME) secara ekonomis baik dari segi biaya maupun waktu. Data ADME baik secara *in vitro* maupun *in vivo* telah diakumulasikan, akurasi ADME pada model *in silico* pun meningkat, sehingga saat ini banyak model *in silico* digunakan secara meluas untuk penemuan obat (Shin dkk., 2016: 23).

Absorpsi, distribusi, metabolisme, dan ekskresi (ADME) menggambarkan tentang desposisi dan nasib senyawa farmasetik dalam tubuh organisme khususnya manusia. Penyebab utama kegagalan pengembangan suatu obat adalah farmakokinetik yang buruk dan toksik dibandingkan dengan efikasi/kemanjuran kandidat suatu senyawa. Secara khusus, faktor farmakokinetik inilah yang sering menjadi kegagalan dalam pengembangan obat (Shin dkk., 2016: 23).

Pemberian obat tablet maupun secara oral akan hancur pada saluran gastrointestinal (GI). Molekul obat yang terlarut akan diabsorpsi melalui dinding usus, sedangkan partikel obat yang dipresipitaskan akan dieksresikan melalui saluran GI. Ketika molekul obat melalui dinding usus, molekul tersebut dapat dikeluarkan dengan bantuan transporter atau melalui metabolisme enzim. Obat yang telah berhasil

melewati dinding usus akan dibawa menuju hepar. Di hepar tersedia banyak enzim untuk memetabolisme senyawa asing (xenobiotik). Reaksi metabolismenya dibagi menjadi 2 fase yaitu fase 1 dan fase 2 berdasarkan enzim yang terlibat. Kedua fase tersebut menghasilkan senyawa xenobiotik yang hidrofilik sehingga mudah diekskresikan melalui urin. Obat yang tidak dapat dimodifikasi secara kimia pada proses metabolisme memasuki sistem sirkulasi. Sebagian obat tidak dapat didistribusikan ke organ target, jaringan, atau sel karena ditangkap oleh protein didalam darah. Bentuk bebas obat dan metabolitnya dapat ditransportasikan ke sel target dan molekul target, dan beberapa dikeluarkan melalui ginjal. Efek terapeutik dapat dicapai apabila konsentrasi obat seimbang dengan pada situs aktif setelah obat melalui interaksi dengan sistem fisiologis (Shin dkk., 2016: 27).

Toksisitas merupakan salah satu kriteria yang harus dipenuhi agar suatu calon obat aman digunakan. Toksisitas oral akut adalah uji untuk menentukan dosis mematikan median (LD_{50}) dari suatu zat dan kemungkinan mekanisme kerjanya dan organ target. LD_{50} didefinisikan sebagai dosis atau konsentrasi yang diberikan sekali atau lebih dalam waktu 24 jam dari suatu zat yang secara statistik diperkirakan dapat membunuh 50% hewan uji. Toksisitas oral akut dibagi menjadi empat kelas, yaitu (Environmental Protection Agency US, 2018: 7-9):

1. Kategori I (toksik dengan $LD_{50} < 50$ mg/kg BB)
2. Kategori II (*warning*, cukup toksik dengan $50 < LD_{50} < 500$ mg/kg BB)
3. Kategori III (*caution*, sedikit toksik dengan $500 > LD_{50} > 5000$ mg/kg BB)
4. Kategori IV (*non required*, tidak toksik dengan $LD_{50} > 5000$ mg/kg BB)

K. Database

1. Protein Data Bank

Protein Data Bank (PDB) adalah sebuah situs yang menyediakan informasi struktur tiga dimensi dari makromolekul biologis seperti protein dan polinukleotida yang mencakup lebih dari 83.900 struktur. Data tersebut terdiri atas proyek penelitian yang menyumbangkan struktur, pengidentifikasi target, nama protein, organisme sumber, status produksi (klon, ekspresi, dan kristalisasi), referensi terkait, serta *link* untuk penelitian terkait. Protein target dapat dicari berdasarkan nama protein, nama pengidentifikasi target, sekuens yang mirip, program, atau organisme asal. Hasilnya dapat diunduh dalam format FASTA, .txt, dan .pdb. PDB dapat diakses *online* secara bebas melalui alamat situs <https://www.rcsb.org/> (Khaerunnisa dkk., 2020: 29).

2. PubChem

Pubchem adalah situs yang menyediakan repositori senyawa kimia dan aktivitas biologisnya. PubChem diluncurkan pada tahun 2004 dan dipelihara oleh *National Center for Biotechnology Information* (NCBI), yang merupakan komponen pada *National Library of Medicine*, yang merupakan bagian dari *National Institutes of Health* (NIH) Amerika Serikat. PubChem terdiri dari tiga basis data yang saling terkait, yaitu *Substance*, *Compound*, dan *BioAssay*. *Database Substance* berisi informasi kimia yang disimpan oleh kontributor data ke PubChem. *Database Compound* menyimpan struktur kimia unik yang diekstraksi dari *Substance*. Data aktivitas biologis dari bahan-bahan kimia yang diuji dalam percobaan terkandung dalam *database BioAssay* (Khaerunnisa dkk., 2020: 32). PubChem dapat diakses secara *online* melalui alamat situs <https://pubchem.ncbi.nlm.nih.gov>.

L. Aplikasi Penunjang

1. AutoDock Vina

AutoDock Vina merupakan salah satu program gratis tercepat dan paling banyak digunakan untuk *molecular docking*. AutoDock Vina merupakan bagian dari AutoDock Suite yang dirancang dan diimplementasikan oleh Dr. Oleg Trott di Molecular Graphics Lab (sekarang CCSC) di The Scripps Research Institute. AutoDock Vina memiliki akurasi sangat baik dalam memprediksi *binding mode* antara ligan dengan protein jika dibandingkan dengan AutoDock 4. Kelebihan lain dari AutoDock Vina yaitu pada saat proses *molecular docking*, dapat dilakukan lebih dari satu molekul sekaligus dengan tidak adanya batasan jumlah atom maksimum dan ukuran maksimum *grid map*. Penggunaan software AutoDock Vina, terintegrasi dengan MGLTools untuk preparasi berkas masukan, Python sebagai bahasa pemrograman yang digunakan, serta Open Babel untuk mengubah format berkas dari sdf. dan mol. AutoDock Vina dapat memanfaatkan banyak CPU atau inti CPU di sistem komputer untuk mempersingkat *running time* secara signifikan (Trott dan Olson, 2010: 455).

2. PyMOL

PyMol merupakan perangkat lunak yang dikembangkan DeLano Scientific LLC. PyMol dapat digunakan untuk visualisasi senyawa kimia dalam bentuk tiga dimensi serta dapat digunakan untuk menghitung RMSD. Visualisasi berguna untuk lebih memahami dan struktur suatu molekul dan PyMol mampu menampilkan hasil visualisasi lebih dari satu struktur (mulai dari molekul kecil sampai makromolekul) dalam beberapa warna. Sistem grafik molekuler PyMol telah berkembang menjadi penampil molekuler yang kuat dan pemrograman menggunakan *Python* menjadikan

software ini mudah digunakan secara luas tanpa mengubah kode-kode utama (Widodo dkk., 2018).

3. Discovery Studio

Discovery Studio Visualizer suatu program yang dapat digunakan untuk untuk preparasi serta visualisasi interaksi ligan dan protein hasil *molecular docking*. Program ini dapat membantu untuk menghilangkan *native ligand*, air dan residu yang tidak diinginkan yang berikatan pada protein yang akan di-*docking*. Perangkat ini memiliki visualisasi gambar yang interaktif untuk melihat struktur molekul, urutan, data refleksi *x-ray*, *script* dan data lainnya. Selain itu, perangkat lunak ini dapat digunakan untuk menganalisis interaksi ligan terhadap *active binding site* pada reseptor secara 2D termasuk pada jenis ikatan dan asam amino yang berinteraksi (Widodo dkk., 2018).

4. SwissADME

SwissADME dijalankan oleh *Institut Bioinformatika Swiss* (SIB). SwissADME merupakan aplikasi *online* yang dapat diakses secara bebas pada website (<http://www.swissadme.ch/>) dan dimaksudkan untuk memudahkan analisis ADME (*Absorption, Distribution, Metabolism, and Excretion*) suatu senyawa. Dibandingkan aplikasi berbasis *website* gratis lain untuk analisis ADME, SwissADME memiliki kelebihan yaitu: metode masukan yang berbeda, dapat menghitung beberapa molekul sekaligus, dan kemungkinan untuk menampilkan, menyimpan, dan berbagai hasil per molekul individu atau melalui grafik yang intuitif dan interaktif. Aplikasi ini juga dilengkapi dengan deskriptor fisikokimia yang dapat digunakan untuk memprediksi aktivitas suatu senyawa berdasarkan strukturnya, sehingga dapat digunakan untuk prediksi sifat fisikokimia pada proses penemuan

senyawa obat baru sesuai dengan aturan dari hukum lima Lipinski (Daina dkk., 2017: 1).

5. admetSAR

Data ADMET sebuah kandidat obat memainkan peranan penting dalam penemuan obat dan penilaian tingkat toksisitasnya. admetSAR merupakan server yang menyediakan informasi hubungan struktur dan aktivitas dan perangkat yang memprediksikan sifat ADME suatu kandidat obat. Server admetSAR menyediakan lebih dari 200.000 data anotasi ADME untuk sekitar 96.000 senyawa yang telah direpositorikan dari berbagai literatur. Server admetSAR menyediakan tampilan yang mudah digunakan untuk mencari profil kimia oleh CASRN, dengan memasukkan nama umum atau sinonim senyawa tersebut (Khaerunnisa dkk., 2020: 60).

M. Tinjauan Islam

Allah Swt. memberikan banyak karunia-Nya kepada kita melalui setiap ciptaan-Nya. Jika kita merenung dan memikirkan semua ciptaan Allah Swt. dapat dipastikan semua berguna dan bermanfaat bagi kehidupan manusia. Dalam Q.S. Surat Al-Jatsiyah/45: 13 Allah SWT. berfirman:

وَسَخَّرَ لَكُمْ مَّا فِي السَّمٰوٰتِ وَمَا فِي الْاَرْضِ جَمِيعًا مِّنْهُ ۗ اِنَّ فِيْ ذٰلِكَ لَاٰيٰتٍ لِّقَوْمٍ يَّتَفَكَّرُوْنَ ﴿١٣﴾

Terjemahnya:

“Dan Dia menundukkan apa yang ada di langit dan apa yang ada di bumi untukmu semuanya (sebagai rahmat) dari-Nya. Sungguh, dalam hal yang demikian itu benar-benar terdapat tanda-tanda (kebesaran Allah) bagi orang-orang yang berpikir” (Kementerian Agama RI, 2019).

Dalam ayat ini Allah Swt. menjelaskan bahwa Dia-lah yang menundukkan semua makhluk ciptaan-Nya yang ada di langit dan di bumi agar manusia dapat

menggunakannya dan memanfaatkannya untuk kepentingan mereka dalam melaksanakan tugas sebagai khalifah Allah di bumi. Hal ini berarti bahwa manusia wajib berusaha dan mencari manfaat dan kegunaan ciptaan Allah bagi mereka. Kunci dari semuanya adalah kemauan berusaha dan keinginan untuk mengetahui sebagian pengetahuan Allah. Semua ini untuk kepentingan hidup manusia.

Salah satu ciptaan Allah Swt. yang bermanfaat bagi kepentingan manusia ialah tanaman. Allah menciptakan bermacam-macam tanaman di muka bumi ini dengan beragam manfaat mulai dari sebagai sumber makanan, obat herbal, dan masih banyak yang lainnya. Sebagaimana firman Allah Swt. dalam Q.S. Asy-Syu'ara/26: 7.

أَوَلَمْ يَرَوْا إِلَى الْأَرْضِ كَيْفَ أَنْبَتْنَا فِيهَا مِنْ كُلِّ زَوْجٍ كَرِيمٍ ﴿٧﴾

Terjemahnya:

“Apakah mereka tidak memperhatikan bumi, betapa banyak Kami telah menumbuhkan di sana segala jenis (tanaman) yang tumbuh baik?” (Kementerian Agama RI, 2019).

Menurut Quraisy Shihab dalam Tafsir Al-Misbah Volume 6, ayat ini membuktikan melalui uraiannya-uraiannya keniscayaan keesaan Allah Swt. karena aneka tumbuhan yang terhampar di persada bumi sedemikian banyak dan bermanfaat lagi berbeda-beda rasa dan warna, namun keadaannya konstan. Itu semua tidak mungkin tercipta dengan sendirinya, pasti ada penciptanya yang Maha Esa lagi Maha kuasa. Di sisi lain tanah yang gersang melalui hujan yang diturunkan-Nya menghidupkan yang mati. Demikian juga manusia yang mati dan telah terkubur di bumi, Allah kuasa menghidupkan mereka kembali. Serupa dengan menghidupkan pepohonan yang tumbuh di tanah yang gersang itu.

“Dan apakah mereka tidak memperhatikan bumi, betapa banyak Kami tumbuhkan di bumi itu berbagai macam (tumbuh-tumbuhan) yang baik”. Allah Swt.

menciptakan tumbuhan dan menumbuhkannya di bumi tak lain untuk kebaikan bagi manusia. Berdasarkan ayat tersebut maka dapat diambil pelajaran bahwa Allah Swt. menciptakan berbagai jenis tumbuhan di muka bumi ini dengan manfaat yang besar salah satunya sebagai sumber pengobatan, maka sebagai dari itu perlu dilakukan penelitian dalam hal pengembangan tumbuhan sebagai sumber pengobatan salah satunya adalah jamur tiram putih (*Pleurotus ostreatus* (Jacq.) P.Kumm.).

Terdapat banyak hadis dari Nabi Muhammad saw. tentang perintah berobat dan penyebutan tentang obat-obat yang bermanfaat. Berdasarkan hadis shahih yang diriwayatkan oleh Imam Bukhari, dari sahabat Abu Hurairah r.a. bahwasanya Nabi Muhammad saw. bersabda:

مَا أَنْزَلَ اللَّهُ دَاءً إِلَّا أَنْزَلَ لَهُ شِفَاءً

Artinya :

“Tidaklah Allah turunkan penyakit kecuali Allah turunkan pula obatnya” (HR. Bukhari No. 5678)

Berdasarkan hadis tersebut, dijelaskan bahwa meskipun Rasulullah tidak menjelaskan tanaman, hewan atau mineral yang dapat menyembuhkan penyakit tertentu, tetapi dengan berlandaskan hal tersebut seorang farmasis ulul albab dapat melakukan penelitian dan pengembangan bidang tanaman obat untuk memperoleh berbagai obat potensial yang berasal dari tanaman yang berguna dalam bidang medis, salah satunya adalah jamur tiram putih (*Pleurotus ostreatus* (Jacq.) P.Kumm.), yang dalam penelitian ini diteliti senyawanya untuk dikembangkan sebagai agen depigmentasi kulit alami untuk pengobatan hiperpigmentasi.

BAB III

METODOLOGI PENELITIAN

A. Jenis dan Lokasi Penelitian

1. Jenis Penelitian

Jenis penelitian ini adalah penelitian kuantitatif eksperimental berbasis komputer.

2. Lokasi Penelitian

Penelitian ini dilakukan di Laboratorium Komputer Fakultas Kedokteran dan Ilmu Kesehatan Universitas Islam Negeri Alauddin Makassar.

B. Pendekatan Penelitian

Pendekatan penelitian yang dilakukan adalah pendekatan *in silico*, yaitu pendekatan penelitian eksperimental yang dilakukan dengan metode simulasi komputer.

C. Instrumen Penelitian

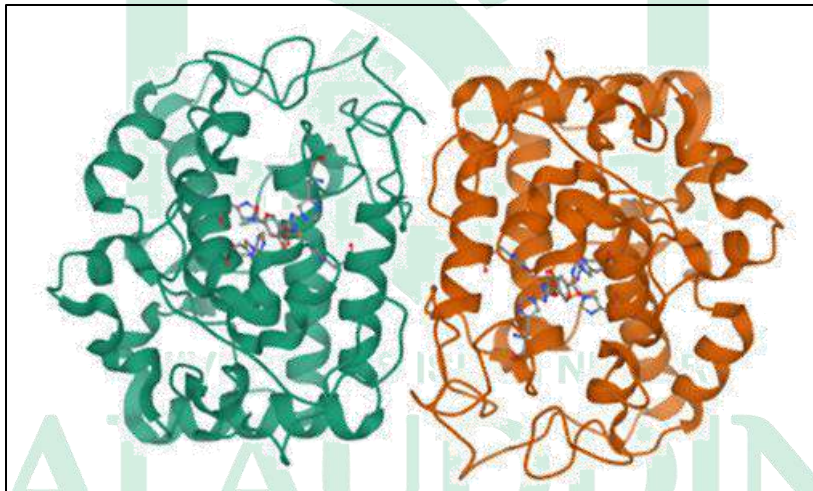
1. Alat

Peralatan yang digunakan dalam penelitian ini terdiri atas perangkat keras dan perangkat lunak. Perangkat keras yang digunakan berupa satu unit laptop ASUS tipe X455LF dengan spesifikasi *processor* Intel® Core™ i3-5005 @ 2 GHz (4 CPUs), *random access memory* (RAM) 4 GB, *hard disk drive* (HDD) 500 GB dengan Windows 10 Pro 64-bit sebagai sistem operasi. Perangkat lunak yang digunakan meliputi: AutoDock Tools 1.5.7 dan AutoDock Vina, Discovery Studio Visualizer

2021, PyMOL, SwissADME (<http://www.swissadme.ch/>), dan admetSAR (lmmd.ecust.edu.cn/admetSAR2/).

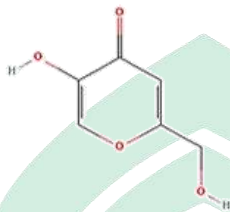
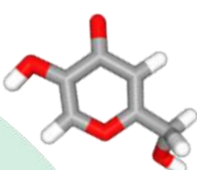
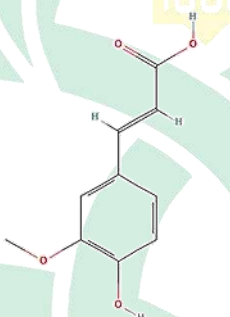
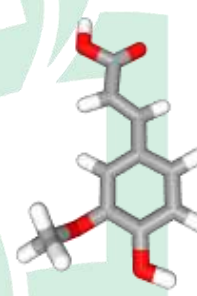
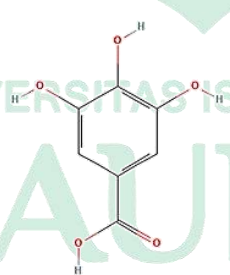
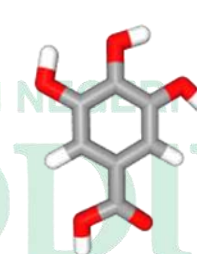
2. Bahan

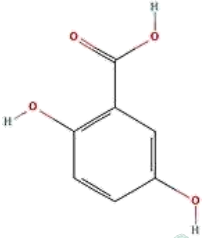
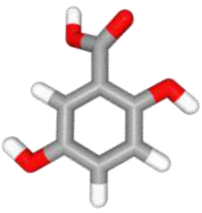
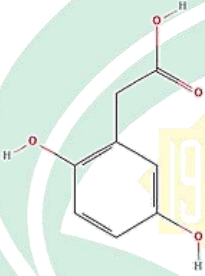
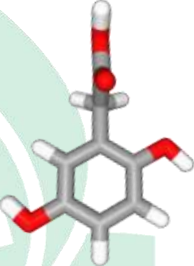
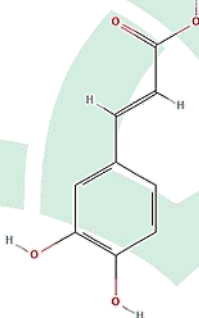
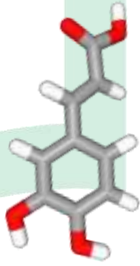
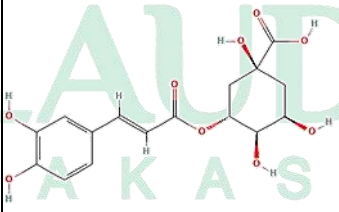
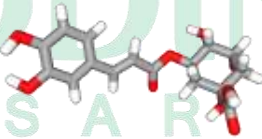
Bahan yang digunakan dalam penelitian ini yaitu: (a) struktur 3D tirosinase kode PDB: 5I38; (b) ligan uji berupa senyawa-senyawa asam fenolat dari jamur tiram putih (*Pleurotus ostreatus* (Jacq.) P.Kumm.), yaitu: asam ferulat, asam galat, asam gentisat, asam homogentisat, asam kafeat, asam klorogenat, asam p-hidroksibenzoat, asam p-kumarat, asam protokatekuat, asam sinamat, asam sinapat, dan asam vanilat; dan (c) ligan pembanding, yaitu *native ligand* asam kojat yang terkompleks dengan struktur protein 5I38.

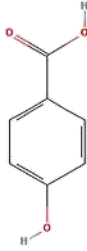
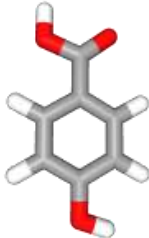
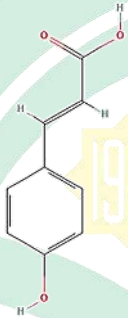
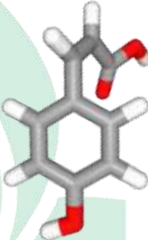
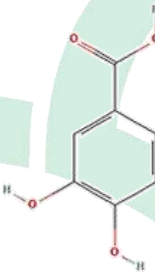
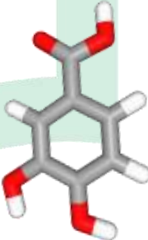
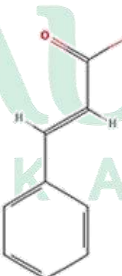
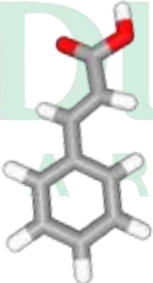


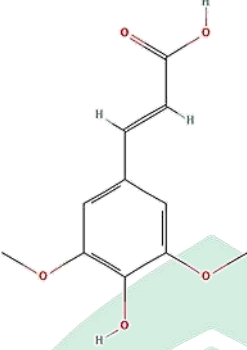
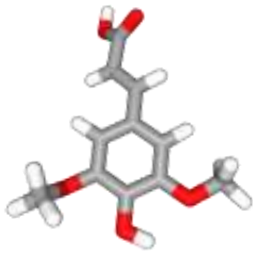
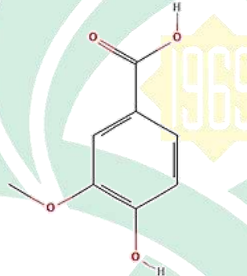
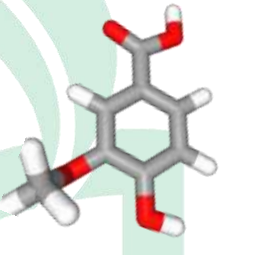
Gambar 10. Struktur 3D tirosinase (kode PDB: 5I38)

Tabel 1. Struktur ligan pembanding dan ligan uji

No.	Ligan/ PubChem ID	Struktur 2D	Struktur 3D	Kode SMILES
Ligan pembanding				
1.	Asam kojat/ 3840			<chem>C1=C(OC=C(C1=O)O)CO</chem>
Ligan uji				
2.	Asam ferulat/ 445858			<chem>COC1=C(C=CC(=C1)C=CC(=O)O)O</chem>
3.	Asam galat/ 370			<chem>C1=C(C=C(C1=O)O)O)C(=O)O</chem>

4.	Asam gentsiat/ 3469			<chem>C1=CC(=C(C=C1O)C(=O)O)O</chem>
5.	Asam homogentsiat/ 780			<chem>C1=CC(=C(C=C1O)CC(=O)O)O</chem>
6.	Asam kafeat/ 689043			<chem>C1=CC(=C(C=C1C=CC(=O)O)O)O</chem>
7.	Asam klorogenat/ 1794427			<chem>C1C(C(C(=O)O)O)O)C(=O)C=C2C(=C(C=C2)O)O)O</chem>

8.	Asam p-hidroksibenzoat /135			$C1=CC(=CC=C1C(=O)O)O$
9.	Asam p-kumarat /637542			$C1=CC(=CC=C1C(=O)O)C=C$
10.	Asam protokatekuat /72			$C1=CC(=C(C=C1C(=O)O)O)O$
11.	Asam sinamat /444539			$C1=CC=C(C=C1)C=CC(=O)O$

12.	Asam sinapat/ 637775			<chem>COC1=C(C=CC(=C1O)OC)C=CC(=O)O</chem>
13.	Asam vanilat/ 8468			<chem>COC1=C(C=CC(=C1)C(=O)O)OC</chem>

D. Teknik Pengolahan dan Analisis Data

1. Molecular Docking

a. Preparasi protein

Struktur 3D tirosinase dengan kode PDB: 5I38 (resolusi 2.6 Å) diunduh dari *database* Protein Data Bank (<https://www.rcsb.org/>) dalam format *.pdb. Protein yang telah diunduh dipreparasi menggunakan aplikasi AutoDock Tools 1.5.7. Karena protein 5I38 memiliki dua sub unit yang masing-masing mengandung *native ligand* yang sama maka hanya butuh satu sub unit untuk *docking*. Sub unit A dipilih sedangkan sub unit B dihapus. Selanjutnya dilakukan pemisahan molekul air dan *native ligand*. Hasil yang diperoleh adalah reseptor murni dan disimpan dalam format *.pdb. Protein dioptimasi dengan cara penambahan atom hidrogen polar dan

penambahan muatan Kollman. Hasil optimasi kemudian disimpan dengan format *.pdbqt.

b. Preparasi ligan

Ligan uji asam fenolat dari jamur tiram putih (*Pleurotus ostreatus* (Jacq.) P.Kumm.) diunduh dari *database* PubChem Compound (<https://pubchem.ncbi.nlm.nih.gov>) dalam format *.sdf. Format ligan dikonversi ke dalam format *.pdb melalui aplikasi Discovery Studio 2021. *Native ligand* sebagai ligan pembanding diperoleh setelah dipisahkan dari struktur protein. Baik ligan uji dan ligan pembanding dioptimasi menggunakan aplikasi AutoDock Tools 1.5.7 dengan cara penambahan atom hidrogen polar dan pengaturan *number of torsion*. Hasil optimasi disimpan dengan format *.pdbqt.

c. Validasi metode *molecular docking*

Sebelum dilakukan simulasi *docking*, metode *docking* terlebih dahulu divalidasi dengan teknik *redocking* (penambatan ulang) *native ligand* pada protein 5I38 yang telah dipreparasi. Hasil validasi dievaluasi berdasarkan interaksi *native ligand* dan ligan hasil *redocking* terhadap protein 5I38 dan nilai *Root Mean Square Deviation* (RMSD). Metode dikatakan valid apabila nilai $RMSD \leq 2 \text{ \AA}$ sehingga metode *docking* dapat diterapkan untuk *docking* ligan uji (Muchtaridi dkk., 2018: 162).

d. Simulasi *molecular docking*

Simulasi *molecular docking* dilakukan dengan pendekatan *targeted docking* (penambatan terarah) melalui aplikasi AutoDock Tools 1.5.7 yang dilengkapi dengan AutoDock Vina dengan menggunakan prosedur penambatan yang telah valid. Simulasi menggunakan protein dan ligan dengan format *.pdbqt yang telah

dipreparasi. *Docking* dilakukan dengan menambatkan setiap ligan pada protein 5I38 dengan koordinat *docking (grid center)* $x = 1.8581$, $y = 101.824$, $z = 25.195$ Å, ukuran *grid box* meliputi $10 \times 10 \times 10$ Å, dan *spacing* sebesar 1 Å. *Exhaustiveness* diatur = 16 dan *num modes* = 10. Data parameter tersebut disalin di notepad untuk membuat file konfigurasi Vina yang akan digunakan untuk simulasi *docking*. File konfigurasi disimpan dengan nama “conf.txt”. Vina dijalankan melalui *command prompt* dengan *script* perintah yang ditulis ialah “-config conf.txt -log log.txt”.

e. Visualisasi dan analisis

Hasil simulasi *molecular docking* menghasilkan *output* berupa nilai energi bebas ikatan (ΔG) dalam file “log.txt” dan konformasi ligan dalam file “..._out.pdbqt”. Penentuan konformasi ligan hasil *docking* terbaik dilakukan dengan memilih konformasi yang memiliki nilai energi bebas ikatan terendah. Hasil *docking* dengan konformasi terbaik kemudian divisualisasikan menggunakan aplikasi PyMOL dan Discovery Studio 2021 dan kemudian dianalisis. Parameter yang dianalisis meliputi ikatan hidrogen, interaksi hidrofobik, jarak ikatan, residu asam amino yang terlibat, dan energi bebas ikatan (ΔG).

2. Prediksi *Drug-likeness*

Prediksi *drug-likeness* bertujuan untuk memprediksi probabilitas suatu senyawa menjadi obat oral secara *in silico* yang berdasarkan pada aspek Aturan Lima Lipinski (*Lipinski's Rule of Five*). Prediksi dilakukan menggunakan program SwissADME melalui situs <http://www.swissadme.ch/>. Dibuka web PubChem untuk mencari kode SMILES ligan lalu disalin kode SMILES pada web SwissADME lalu klik *run*. Dicatat nilai berat molekul, jumlah H-donor, H-akseptor, dan nilai logP. Ligan dianggap memiliki potensi dapat masuk ke dalam membran sel dan diserap

oleh tubuh jika memenuhi aturan Lipinski dengan kriteria: (1) berat molekul ≤ 500 Da; (2) jumlah donor ikatan hidrogen ≤ 5 ; (3) jumlah akseptor ikatan hidrogen ≤ 10 ; (4) nilai $\log P \leq 5$ (Lipinski dkk., 2001).

3. Prediksi ADMET

Prediksi ADMET dilakukan secara online menggunakan situs SwissADME dan admetSAR. Sampel ligan yang akan dianalisis dicari kode SMILES-nya pada situs PubChem. Kode SMILES yang telah diperoleh kemudian diunggah pada situs pada situs SwissADME dan admetSAR. Hasil prediksi akan muncul pada jendela web.



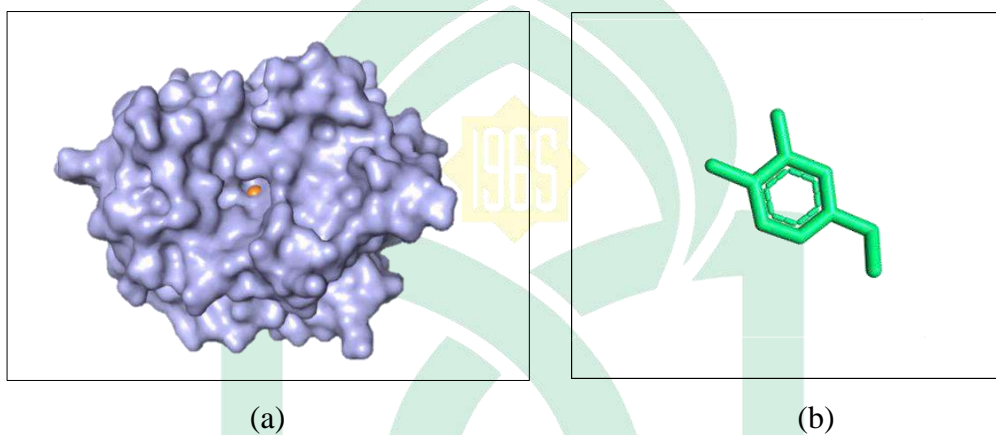
BAB IV

HASIL PENELITIAN DAN PEMBAHASAN

A. Hasil Penelitian

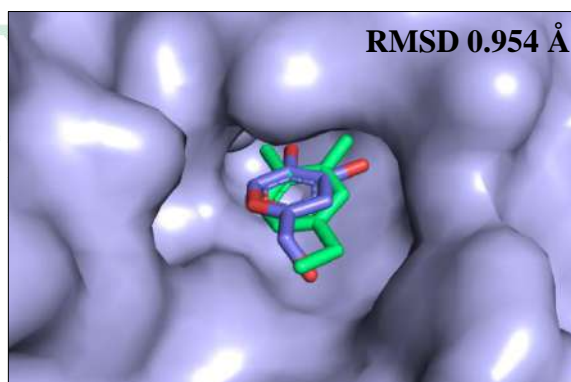
1. Molecular Docking

a. Preparasi protein dan ligan



Gambar 11. Hasil preparasi protein 5I38: (a) Tampilan 3D *molecular surface*; (b) *native ligand* asam kojat yang telah dipisahkan

b. Validasi metode *molecular docking*



Gambar 12. Superposisi ligan hasil *redocking* (biru) dan *native ligand* asam kojat (hijau)

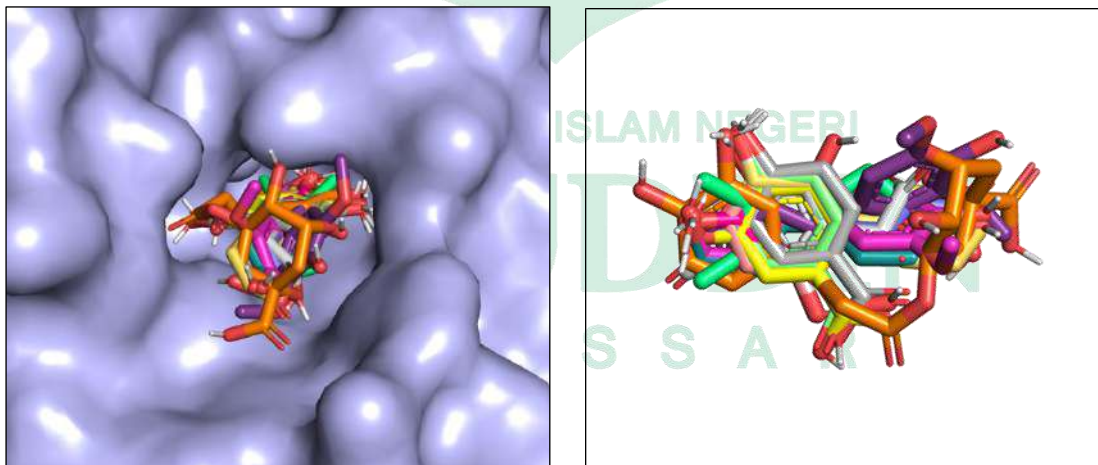
c. Simulasi *molecular docking*

Tabel 2. Interaksi ligan dengan residu asam amino pada protein 5I38

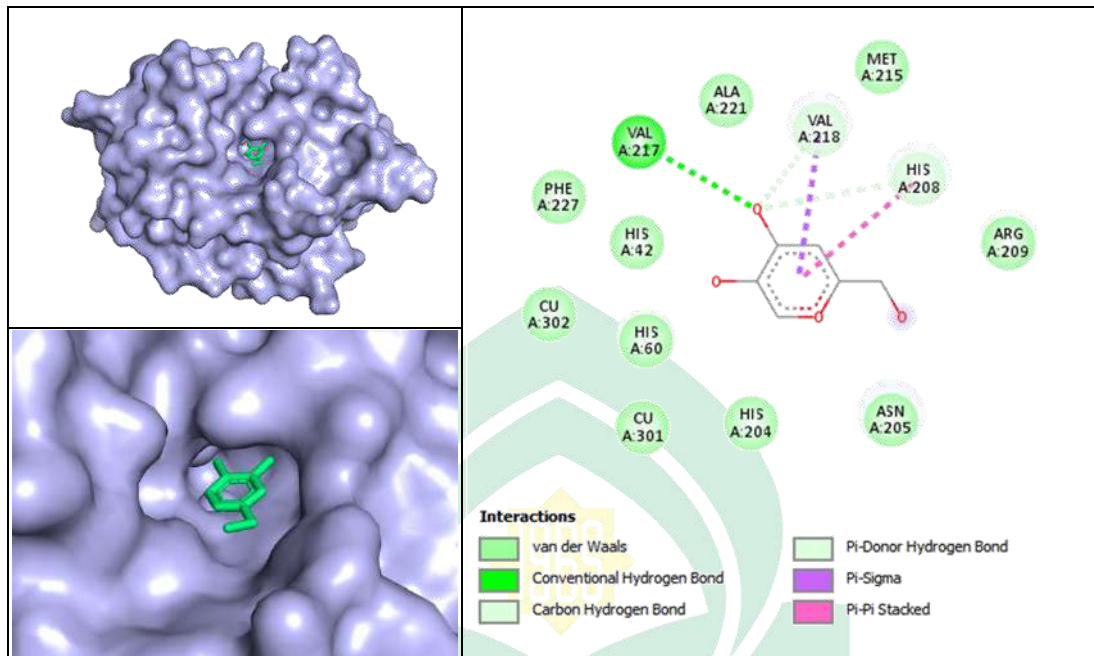
No.	Ligan	ΔG (kcal/mol)	Asam Amino yang Terlibat dan Jarak Ikatan (Å)	
			Ikatan Hidrogen	Interaksi Hidrofobik
Ligan pembanding				
1.	Asam kojat	-5.3	Val217 (3.25), Val218 (3.17), His208 (3.93)	Val218 (3.92), His208 (3.98)
Ligan uji				
2.	Asam ferulat	-5.8	His42 (3.48)	-
3.	Asam galat	-6.0	His208 (3.05) , Gly216 (2.70), Asn205 (2.52), His60 (3.47)	Val218 (3.42) , His208 (4.43) , His60 (5.41), Cu301 (4.98)
4.	Asam gentisat	-6.1	His208 (3.19) , Asn205 (2.13), Val217 (2.25) , His60 (3.74)	Val218 (3.57) , His208 (4.10) , Ala221 (5.43), Cu301 (4.72)
5.	Asam homogentisat	-6.3	His208 (3.21) , Asn205 (2.84), Asn205 (2.75), Met215 (2.45), His60 (3.77), His204 (3.55), Arg209 (3.50)	Val218 (3.55) , His208 (4.12) , Ala221 (5.45), Cu301 (4.73)
6.	Asam kafeat	-6.5	His208 (3.19) , His208 (3.34)	Val218 (3.55) , His208 (4.24) , Cu301 (4.86)
7.	Asam klorogenat	-3.9	His42 (3.30)	Val218 (3.84) , His208 (3.72) , Ala221 (4.55), Cu301 (3.89), Cu302 (4.75)
8.	Asam p-hidroksibenzoat	-5.6	Met215 (2.06), His60 (3.35), His204 (3.75)	Val218 (3.45) , His208 (4.35) , His60 (5.63), Cu301 (5.06)

9.	Asam p-kumarat	-5.9	-	-
10.	Asam protokatekuat	-6.0	Asn205 (2.65), His208 (3.54)	Val218 (3.74), His208 (4.08), Cu301 (4.90)
11.	Asam sinamat	-6.0	Val217 (3.27), Met215 (1.93)	-
12.	Asam sinapat	-5.2	His42 (3.47)	Val217 (4.50), Val218 (5.06), Pro201 (4.65), Phe197(5.41), Arg209 (5.29)
13.	Asam vanilat	-5.8	Met215 (1.89)	Val218 (3.44), His208 (4.58), His60 (5.94), Cu301 (2.77), Cu302 (3.25), His42 (4.51), His60 (4.08), His204 (4.74), Phe227 (5.25), His231 (5.27), Cu301 (5.43)

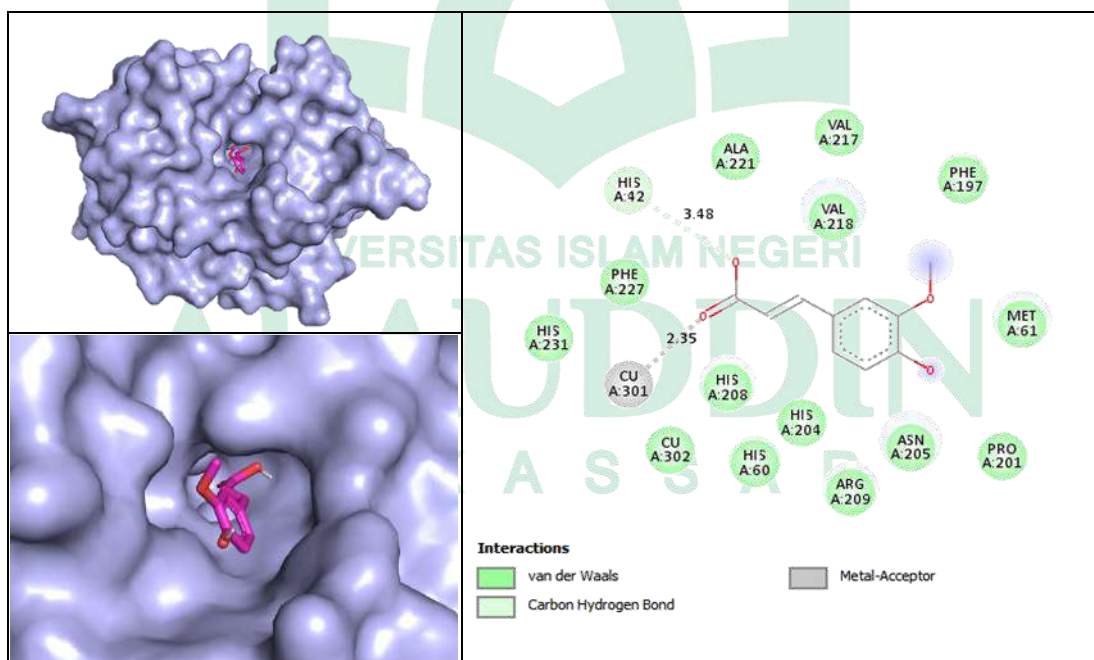
d. Visualisasi hasil *molecular docking*



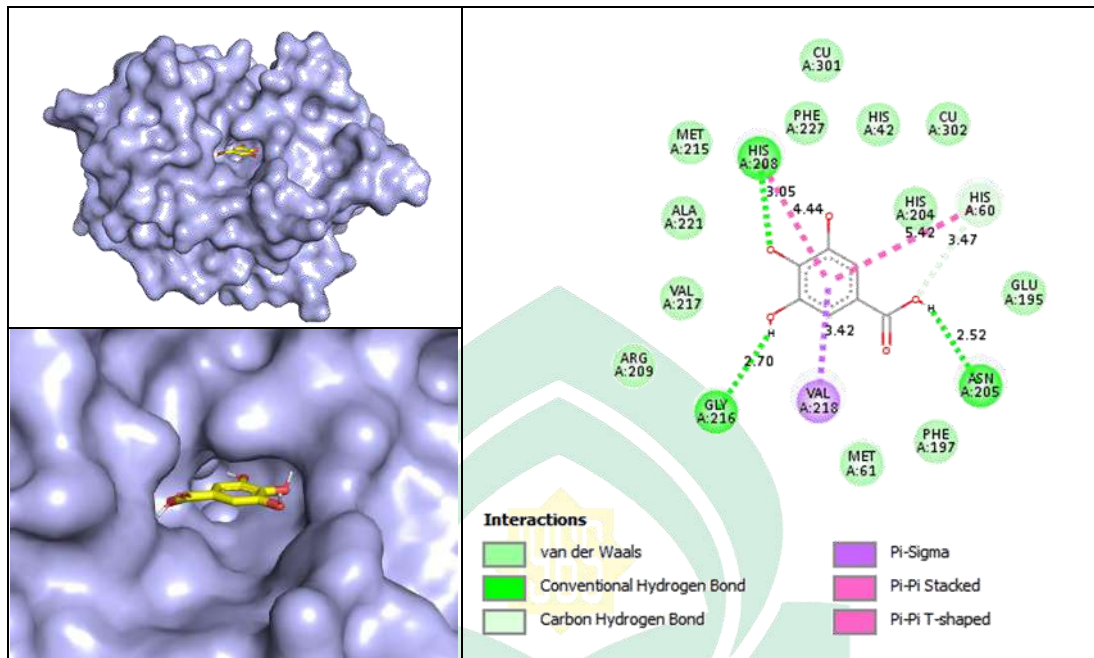
Gambar 13. Superposisi ligan hasil simulasi *docking* pada *binding site* protein 5I38



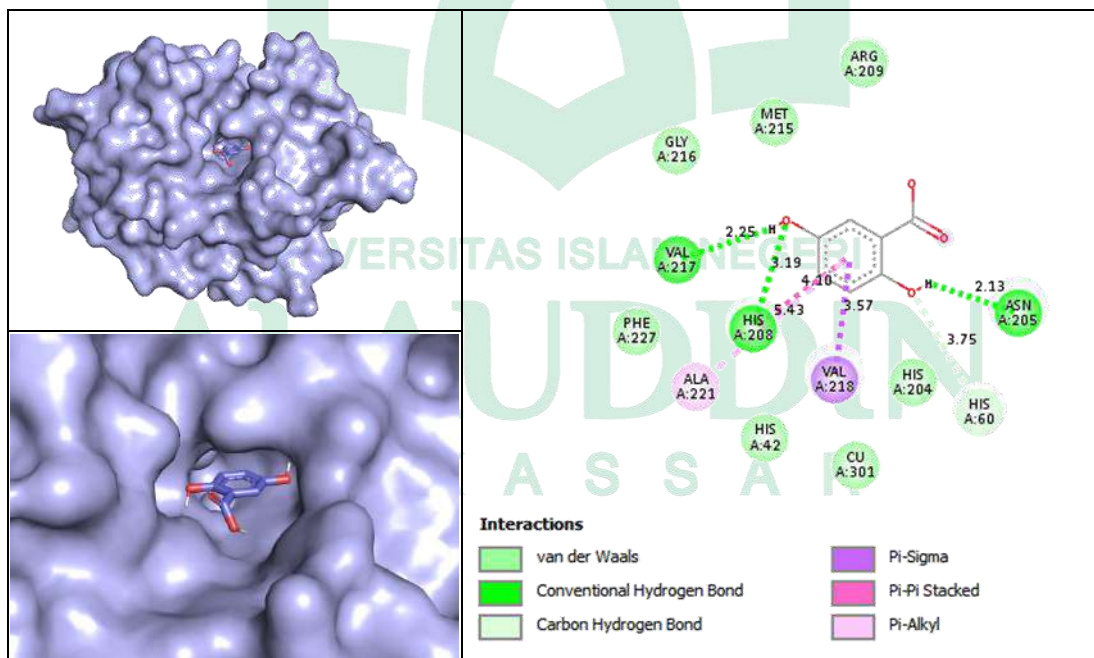
Gambar 14. Interaksi molekuler asam kojat dengan asam amino protein 5I38



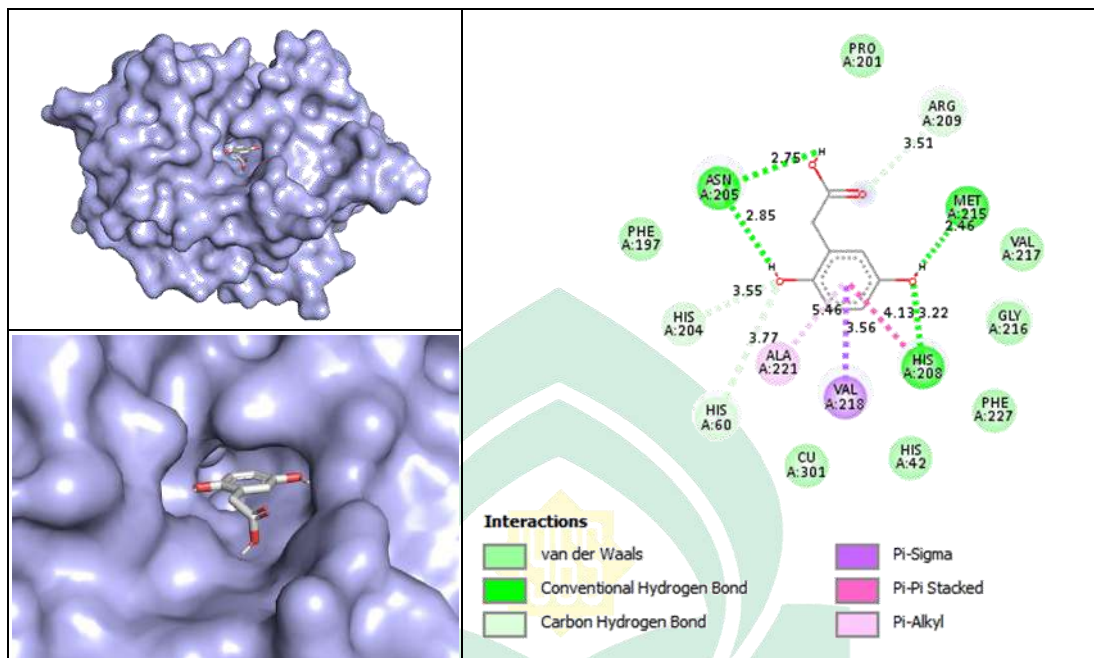
Gambar 15. Interaksi molekuler asam ferulat dengan protein 5I38



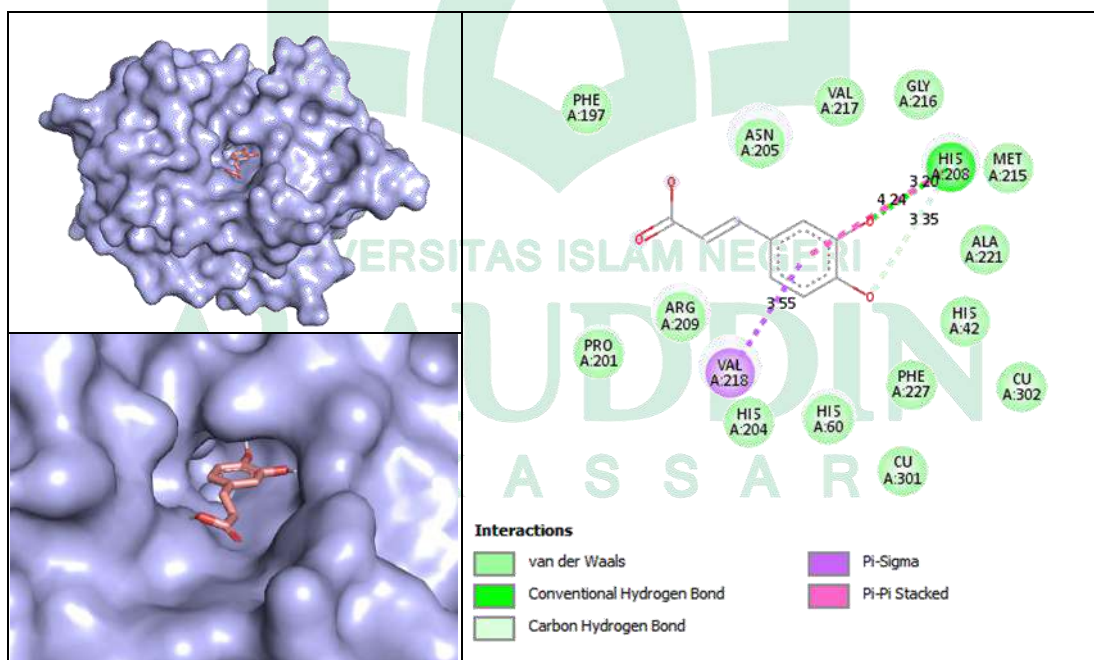
Gambar 16. Interaksi molekuler asam galat dengan protein 5I38



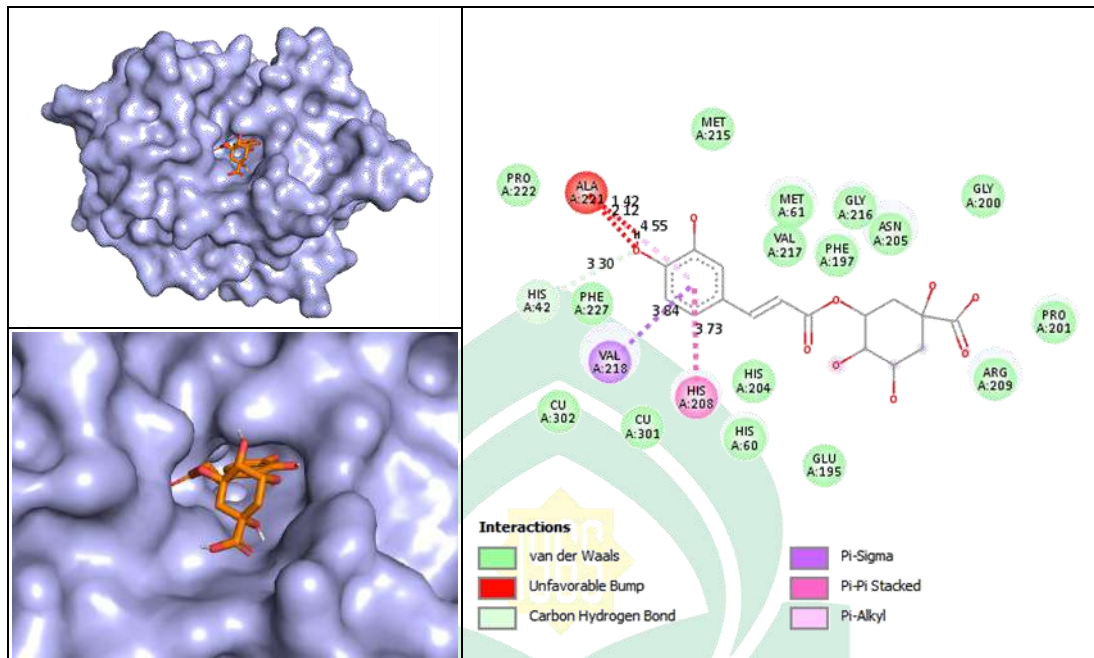
Gambar 17. Interaksi molekuler asam gentisat dengan protein 5I38



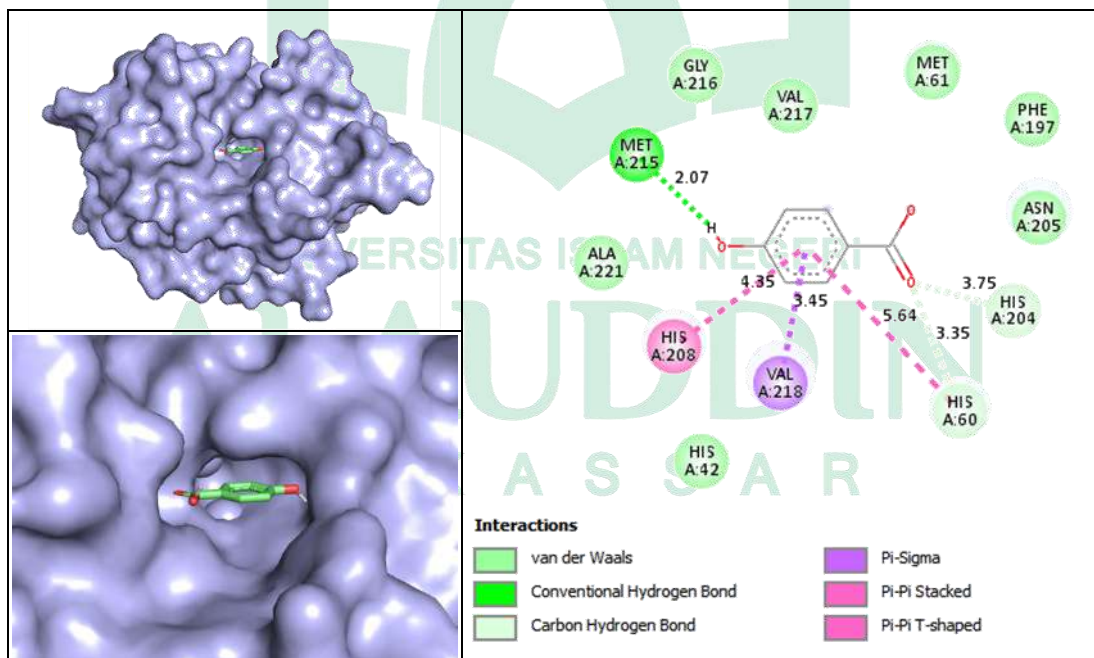
Gambar 18. Interaksi molekuler asam homogentisat dengan protein 5I38



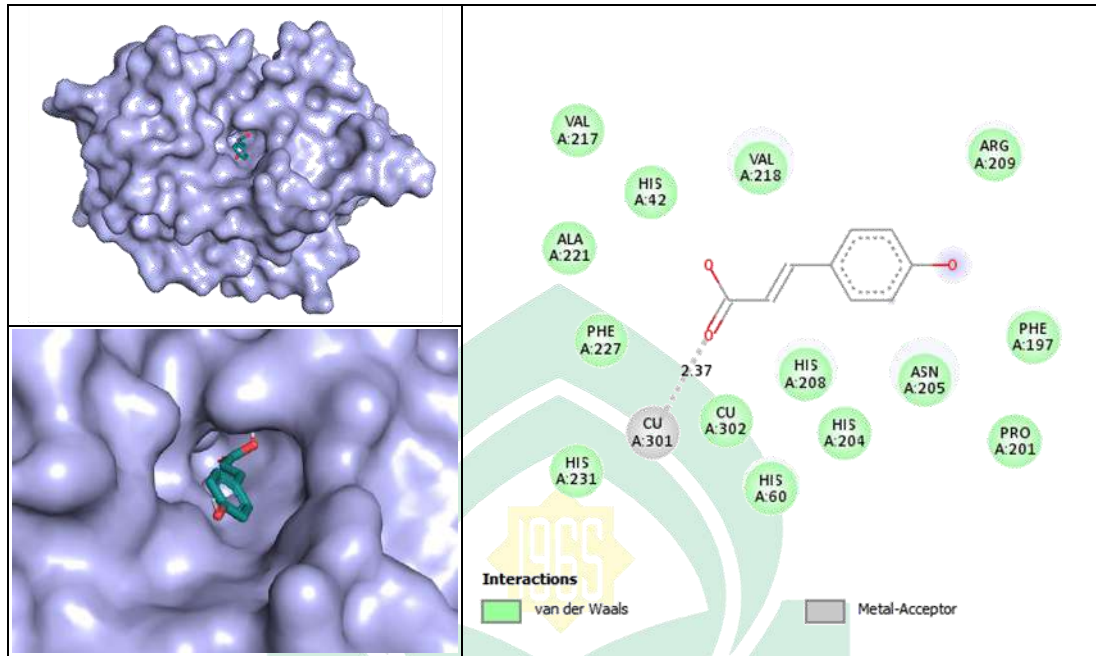
Gambar 19. Interaksi molekuler asam kafeat dengan protein 5I38



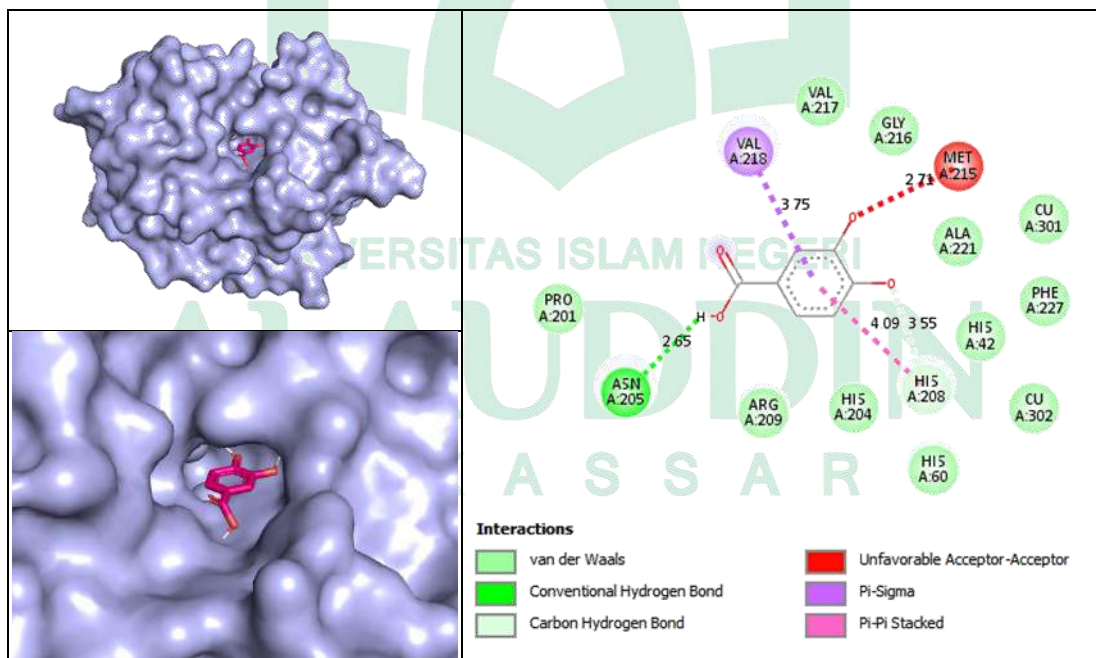
Gambar 20. Interaksi molekuler asam klorogenat dengan protein 5138



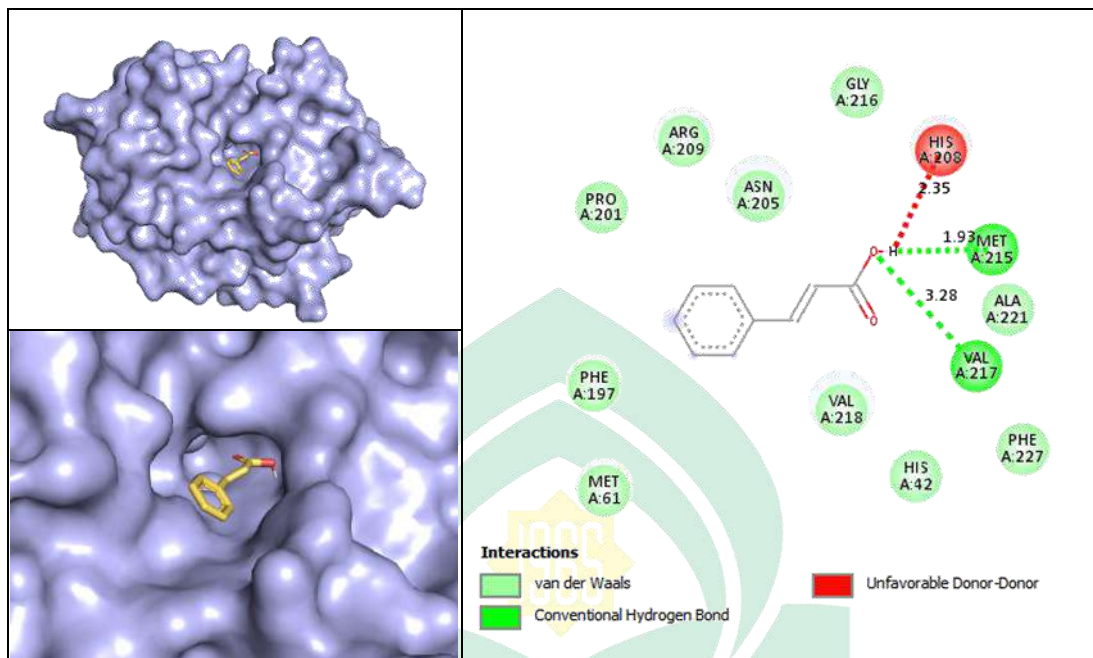
Gambar 21. Interaksi molekuler asam p-hidroksibenzoat dengan protein 5138



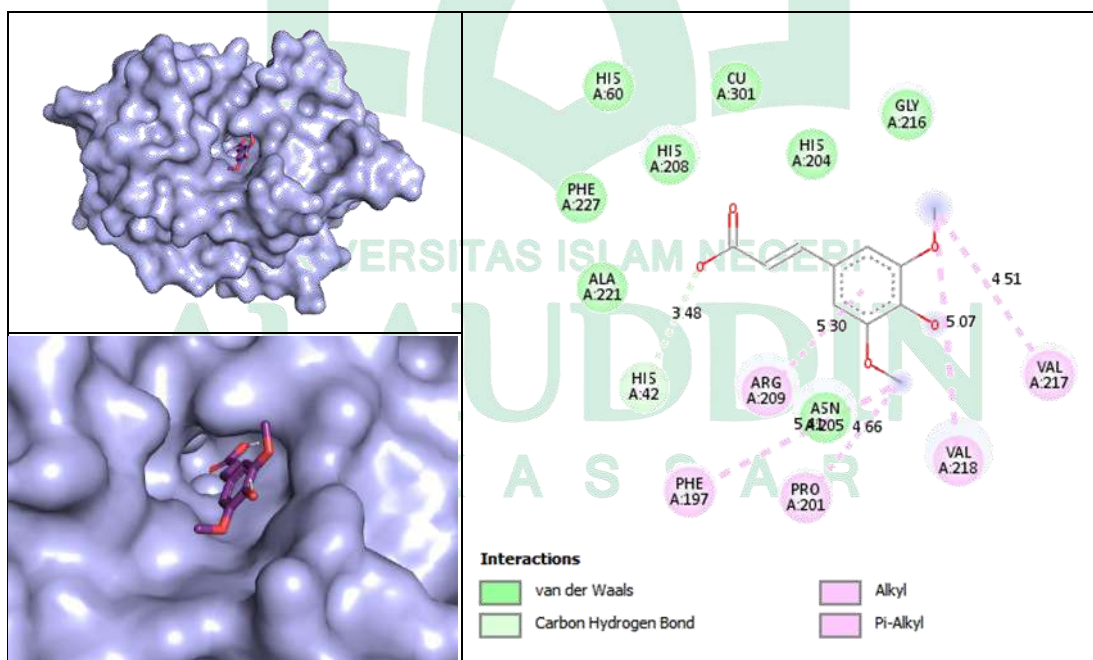
Gambar 22. Interaksi molekuler asam p-kumarat dengan protein 5I38



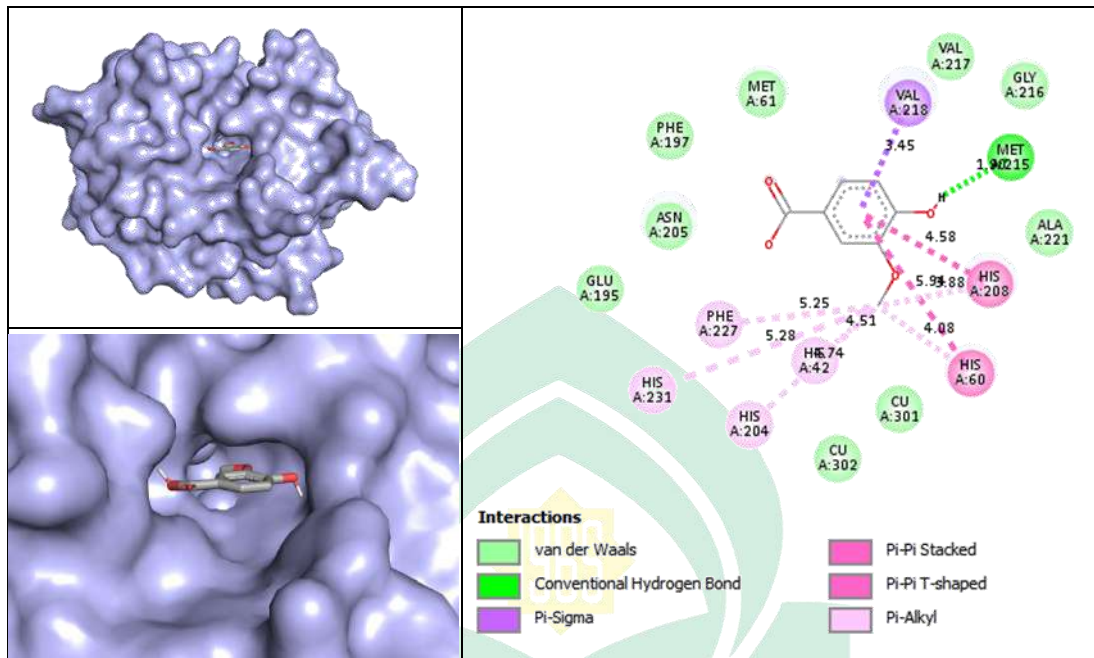
Gambar 23. Interaksi molekuler asam protokatekuat dengan protein 5I38



Gambar 24. Interaksi molekuler asam sinamat dengan protein 5I38



Gambar 25. Interaksi molekuler asam sinapat dengan protein 5I38



Gambar 26. Interaksi molekuler asam vanilat dengan protein 5I38

2. Prediksi *Drug-likeness*

Tabel 3. Hasil prediksi *drug-likeness* berdasarkan aturan Lipinski

No.	Ligan	Parameter				Kesesuaian
		BM	LogP	HBA	HBD	
Ligan pembanding						
1.	Asam kojat	142.11	1.12	4	2	Ya
Ligan uji						
2.	Asam gentisat	154.12	0.49	4	3	Ya
3.	Asam homogentisat	168.15	0.60	4	3	Ya
4.	Asam kafeat	180.16	0.97	4	3	Ya

Keterangan:

BM : Berat molekul ≤ 500 DaLogP : Logaritma koefisien partisi oktanol/air ≤ 5 HBA : *Hydrogen Bond Acceptors* (akseptor ikatan hidrogen) ≤ 10 HBD : *Hydrogen Bond Donors* (donor ikatan hidrogen) ≤ 5

3. Prediksi ADMET

Tabel 4. Hasil prediksi ADMET

Parameter	Hasil			
	Ligan Pemanding	Ligan Uji		
	Asam kojat	Asam gentisat	Asam homogentisat	Asam kafeat
Absorpsi gastrointestinal*	Tinggi	Tinggi	Tinggi	Tinggi
Permeabilitas BBB*	Tidak	Tidak	Tidak	Tidak
Substrat P-gp*	Tidak	Tidak	Tidak	Tidak
Permeabilitas pada kulit (Log Kp) (cm/s)*	-7.62	-6.00	-6.72	-6.58
Pengikatan protein plasma (%)**	32.7	67.6	47.1	73.6
Inhibitor/substrat CYP*	Non-inhibitor Non-substrat	Non-inhibitor Non-substrat	Substrat CYP2C9	Non-inhibitor Non-substrat
Karsinogenisitas**	Non-karsinogenik	Non-karsinogenik	Non-karsinogenik	Non-karsinogenik
Toksitas oral akut**	Kelas III	Kelas III	Kelas III	Kelas IV
Sensitisasi kulit**	Ya	Ya	Ya	Ya

Keterangan:

BBB : *Blood Brain Barrier* (sawar darah otak)

P-gp : Permeabilitas glikoprotein

Log Kp: Logaritma koefisien permeasi kulit

CYP : *Cytochrome P450* (sitokrom P450)

* : Pengujian dilakukan pada situs SwissADME

** : Pengujian dilakukan pada situs admetSAR

B. Pembahasan

1. *Molecular Docking*

Molecular docking merupakan salah satu metode rancangan obat yang merupakan kombinasi teknik komputasi dan data struktur molekul biologi untuk

memprediksi bentuk ikatan yang dominan antara ligan dengan protein target yang struktur tiga dimensinya diketahui. *Docking* biasanya dilakukan antara molekul kecil (ligan) dan makromolekul target (protein) yang bertujuan untuk memahami dan memprediksi interaksi ligan dan protein, baik mencari mode ikatan yang baik secara struktur maupun memprediksi afinitas ikatan berdasarkan energi (Muchtaridi dkk., 2018: 162).

Langkah awal sebelum melakukan proses *molecular docking* adalah melakukan preparasi protein dan ligan yang akan digunakan. Preparasi penting dilakukan untuk mendapatkan hasil simulasi yang baik dan mendekati keadaan yang sebenarnya. Protein target yang akan digunakan diunduh dari *database* Protein Data Bank. Identitas protein yang dipilih adalah 5I38 yang merupakan struktur kristal enzim tirosinase dari organisme *Bacillus megaterium* yang diperoleh dari difraksi sinar-X dengan resolusi 2.6 Å. Protein ini memiliki dua rantai yang homolog (A dan B), masing-masing mengandung 286 residu, dua logam tembaga, dan asam kojat sebagai inhibitor kompetitif yang terkompleks ke *binding site*.

Setelah diunduh, maka didapatkan struktur protein yang terikat dengan ligan dan molekul air. Ligan dan molekul air ini kemudian dihilangkan menggunakan aplikasi AutoDock Tools 1.5.7. karena dapat mengganggu proses *docking*. *Native ligand* terikat pada sisi aktif protein dapat menghalangi ligan lain untuk berikatan, sedangkan molekul air dihilangkan untuk membuat perhitungan *docking* lebih mudah dan untuk memaksimalkan interaksi antara ligan uji dengan protein target.

Protein yang telah bebas dari ligan dan molekul air kemudian dioptimasi agar protein dapat menyesuaikan dengan lingkungan komputasi sehingga dapat di-*docking*. Pengoptimasian yang dilakukan meliputi penambahan atom hidrogen polar

dan penambahan muatan Kollman. Penambahan atom hidrogen (protonasi) perlu dilakukan karena keberadaan hidrogen mempengaruhi hasil *docking* dengan terbentuknya ikatan hidrogen. Sedangkan penambahan muatan Kollman bertujuan untuk menambahkan muatan pada residu asam amino yaitu energi potensial elektrostatik. Hasil pengoptimasian disimpan dalam format *.pdbqt karena hanya dalam format ini simulasi *docking* menggunakan AutoDock Tools 1.5.7. dan AutoDock Vina dapat dijalankan. Format *.pdbqt juga menunjukkan adanya muatan parsial pada masing-masing atom (Syahputra, 2014: 13).

Kemudian selanjutnya, dilakukan preparasi ligan. Ligan pembanding yang digunakan yaitu asam kojat dan ligan uji asam fenolat diunduh dari situs PubChem Compound. Asam kojat yang telah membentuk kompleks dengan protein tirosinase dapat digunakan sebagai ligan pembanding untuk mengamati interaksi dan afinitas ligan uji yang paling baik. Penggunaan ligan uji asam fenolat didasari pada penelitian yang dilakukan Alam dkk., (2010) yang melaporkan bahwa ekstrak metanol jamur tiram putih (*Pleurotus ostreatus* (Jacq.) P.Kumm.) memiliki aktivitas inhibisi tirosinase yang lebih baik dibanding ekstrak air panas dan ekstrak aseton. Hasil analisis HPLC pada ekstrak menunjukkan adanya kandungan senyawa fenolik. Aktivitas inhibisi tirosinase ekstrak jamur tiram ini disinyalir disebabkan oleh keberadaan gugus hidroksil pada struktur senyawa fenolik yang membentuk ikatan hidrogen pada situs aktif enzim tirosinase yang kemudian menurunkan aktivitas enzimatisnya. Berdasarkan studi literatur yang dilakukan oleh Selvamani dkk., (2019) dan Piska dkk., (2016), menyebutkan bahwa asam fenolat merupakan golongan senyawa fenolik dominan yang terdapat pada jamur tiram. Senyawa asam fenolat yang telah teridentifikasi jamur tiram meliputi asam ferulat, asam galat, asam

gentisat, asam homogentisat, asam kafeat, asam klorogenat, asam p-hidroksibenzoat, asam p-kumarat, asam protokatekuat, asam sinamat, asam sinapat, dan asam vanilat.

Ligan uji yang telah diunduh dikonversi ke dalam format *.pdb agar dapat dioptimasi dengan menggunakan AutoDock Tools 1.5.7. Pengoptimasian ligan meliputi penambahan muatan Gasteiger dan pengaturan *number of torsions*. Muatan Gasteiger akan ditambahkan secara otomatis pada saat ligan dibuka menggunakan AutoDock Tools 1.5.7. Adapun pengaturan *number of torsions* dilakukan untuk menentukan ikatan-ikatan yang dapat bergerak selama proses *docking* berlangsung.

Setiap proses *docking* diawali dengan melakukan validasi protokol *docking*. Validasi dilakukan dengan cara *redocking native ligand* asam kojat pada protein 5I38. *Docking* dilakukan berdasarkan posisi *native ligand* dengan koordinat *docking (grid center)* $x = 1.8581$, $y = 101.824$, $z = 25.195 \text{ \AA}$, ukuran *grid box* meliputi $10 \times 10 \times 10 \text{ \AA}$, dan *spacing* sebesar 1 \AA . *Grid box* merupakan ruang berinteraksinya ligan dengan residu asam amino protein. *Exhaustiveness* diatur = 16 dan *num modes* = 10 untuk meningkatkan akurasi *docking*. Hasil *redocking* menunjukkan bahwa posisi asam kojat yang di-*docking* ulang dapat kembali ke posisi semula. Pada penelitian ini didapatkan nilai RMSD sebesar 0.954 \AA ($\leq 2 \text{ \AA}$), yang menunjukkan bahwa protokol *docking* telah memenuhi syarat untuk simulasi *docking* terhadap ligan uji.

Molecular docking dilakukan dengan ligan uji berupa 12 senyawa asam fenolat serta asam kojat sebagai ligan pembanding. Simulasi *docking* pada penelitian ini dilakukan dalam kondisi ligan fleksibel. Kondisi fleksibel digunakan untuk penyesuaian struktur ligan yang paling stabil berinteraksi dengan reseptor. Parameter kestabilan yang diamati adalah energi bebas ikatan (ΔG). Semakin negatif nilai ΔG , semakin menunjukkan tingkat kestabilan yang baik antara ligan dan reseptor, sehingga

ikatan yang terbentuk akan semakin kuat (Syahputra, 2014: 14). Dari hasil *molecular docking* yang ditunjukkan pada Tabel 2, dapat dilihat bahwa semua ligan uji memiliki nilai ΔG lebih negatif dibanding ligan pembanding asam kojat. Dari dua belas senyawa asam fenolat, terdapat tiga senyawa asam fenolat dengan nilai ΔG terendah, yaitu asam kafeat dengan nilai ΔG -6,5 kkal/mol, asam homogentisat dengan nilai ΔG -6,3 kkal/mol serta asam gentisat dengan nilai ΔG -6,1 kkal/mol. Jika dibandingkan dengan ligan pembanding asam kojat yang memiliki nilai ΔG -5.3 kkal/mol, semua senyawa ligan uji terpilih memiliki nilai ΔG lebih rendah ligan pembanding asam kojat yang menunjukkan kemampuan senyawa untuk berikatan dengan protein tirosinase secara stabil.

Selanjutnya, dilakukan pengamatan visualisasi 2D dan 3D dari kompleks ligan dan protein untuk menentukan asam amino mana yang berperan dalam penghambatan protein tirosinase. Ligan pembanding asam kojat berinteraksi dengan residu asam amino membentuk ikatan hidrogen dan interaksi hidrofobik. Residu yang membentuk ikatan hidrogen meliputi Val217, Val218, dan His208 sementara residu yang membentuk interaksi hidrofobik meliputi Val 218 dan His208. Penelitian dari Deri dkk., (2016) menyatakan bahwa asam amino yang menghasilkan aktivitas inhibisi asam kojat adalah Val217, Val 218, dan His208. Berdasarkan hasil visualisasi yang telah dilakukan, ketiga ligan memiliki interaksi hidrofobik dengan residu asam amino yang serupa dengan asam kojat, dengan tambahan interaksi baru yakni Ala221. Sementara untuk ikatan hidrogen, ketiga senyawa paling banyak memiliki interaksi dengan residu His208. Ikatan hidrogen dengan jumlah residu terbanyak dimiliki oleh asam homogentisat.

2. Prediksi *Drug-likeness*

Sifat *drug-likeness* suatu senyawa berkaitan dengan absorpsi obat yang dapat diterima dan permeabilitasnya. Hal ini merupakan langkah awal dalam bioavailabilitas obat oral (Lipinski dkk., 2001: 2). Prediksi sifat *drug-likeness* yang dilakukan pada penelitian ini menggunakan aplikasi SwissADME dengan metode hukum lima Lipinski. Parameter hukum lima Lipinski meliputi berat molekul, LogP, akseptor ikatan hidrogen, dan donor ikatan hidrogen. Untuk memprediksi sifat *drug-likeness* senyawa uji, dilakukan dengan meng-copy kode SMILES pada aplikasi SwissADME.

Nilai logP menyatakan koefisien kelarutan dalam lemak/air yang memiliki rentang -0,4 – 5. Berat molekul yang lebih dari 500 Da tidak dapat berdifusi menembus membran sel. Semakin besar nilai logP, maka semakin hidrofobik molekul tersebut. Molekul yang memiliki sifat terlalu hidrofobik cenderung memiliki tingkat toksisitas yang tinggi karena akan tertahan lebih lama pada lipid bilayer dan terdistribusi lebih luas di dalam tubuh sehingga selektifitas ikatan terhadap enzim target menjadi berkurang. Nilai logP yang terlalu negatif juga tidak baik karena jika molekul tersebut tidak dapat melewati membran lipid bilayer. Jumlah donor dan akseptor ikatan hidrogen mendeskripsikan semakin tinggi kapasitas ikatan hidrogen, maka semakin tinggi energi yang dibutuhkan agar proses absorpsi dapat terjadi (Syahputra, 2014: 12).

Dari hasil analisis, ketiga senyawa tidak ada yang melanggar aturan Lipinski. Semua senyawa memiliki nilai skor bioavailabilitas yang lebih tinggi dibanding asam kojat, sehingga dapat diprediksikan bahwa ketiga senyawa tersebut memiliki

bioavailabilitas yang baik sehingga jika dikonsumsi peroral dapat diabsorpsi dengan baik secara sistemik.

3. Prediksi ADMET

Prediksi sifat farmakokinetik (ADMET) yang meliputi absorpsi, distribusi, metabolisme, ekskresi, dan toksisitas dilakukan menggunakan situs SwissADME dan admetSAR. Analisis hasil prediksi parameter absorpsi pada gastrointestinal menunjukkan bahwa ketiga senyawa memiliki nilai absorpsi yang tinggi pada sistem pencernaan manusia.

Sawar darah-otak (*blood brain barrier*, BBB) adalah lapisan sel endotel mikrovaskular yang mengelilingi sistem saraf pusat (SSP). Prediksi penetrasi BBB berarti memprediksi apakah senyawa dapat melewati sawar darah-otak. Hal ini sangat penting pada lingkup farmasi karena obat yang bekerja pada sistem saraf pusat harus dapat melewati pembatas ini sementara obat inaktif sistem saraf pusat tidak boleh melewatinya agar mencegah efek samping pada kerja normal sistem saraf pusat (Ibrahim dkk., 2021: 8). Hasil prediksi menunjukkan ketiga senyawa tidak ada yang melewati sawar darah-otak.

P-glikoprotein (P-gp) merupakan transporter yang dapat mengikat berbagai macam substrat, yang tersebar luas di seluruh tubuh. Transporter P-gp terletak di usus kecil, kapiler darah-otak, dan beberapa organ penting seperti ginjal dan hati. Obat bisa masuk ke sel melalui transpor aktif atau difusi pasif, dan mereka dapat dieliminasi dengan bantuan P-gp. Prediksi parameter inhibitor dan substrat P-glikoprotein (P-gp) menjadi penting karena P-glikoprotein adalah salah satu pengangkut obat yang menentukan penyerapan dan pengeluaran berbagai obat

(Ibrahim dkk., 2021: 8). Hasil prediksi P-gp menunjukkan ketiga senyawa tidak menjadi substrat P-gp.

Parameter permeabilitas kulit sangat penting dalam penghantaran obat melalui transdermal. Semakin negatif nilai log Kp, semakin rendah permeabilitas suatu senyawa terhadap kulit (Daina dkk., 2017: 6). Hasil prediksi menunjukkan bahwa ketiga senyawa memiliki nilai log Kp lebih besar dibanding asam kojat, yang artinya ketiganya memiliki permeabilitas yang lebih baik terhadap kulit jika dibandingkan dengan asam kojat. Adapun senyawa dengan nilai log Kp terbesar adalah senyawa asam gentisat dengan prediksi log Kp = -6.00 (cm/s).

Pengikatan protein plasma merupakan derajat distribusi pengikatan protein dalam darah, sehingga tubuh dapat mendistribusikan darah yang telah terikat senyawa obat. Semakin besar kemampuan ikatan protein plasma maka distribusi senyawa obat dalam darah juga semakin baik. Kemampuan ikatan protein plasma ditentukan dalam persentase unit ikatan. Hasil menunjukkan bahwa asam kafeat memiliki persentase tertinggi sebesar 73.6%.

Enzim sitokrom P450 (CYP) adalah enzim yang berperan pada metabolisme obat dan xenobiotik lainnya yang banyak ditemukan di hepar. Enzim mengoksidasi berbagai xenobiotik dan memfasilitasi ekskresi senyawa tersebut. Beberapa obat dapat dideaktivasi oleh enzim CYP450, beberapa lainnya dapat teraktivasi oleh enzim ini. Senyawa yang bersifat inhibitor CYP450 akan mengganggu kerja metabolisme obat. Maka dari itu, penting untuk mengetahui apakah suatu senyawa bersifat inhibitor enzim ini atau tidak. Beberapa isoform CYP, yakni 1A2, 2C9, 2C19, 2D6, dan 3A4 menyumbang lebih dari 90% proses

metabolisme oksidatif (Ibrahim dkk., 2021: 9). Hasil prediksi menunjukkan bahwa hanya senyawa asam homogentisat yang menjadi substrat CYP2C9.

Pada parameter karsinogenisitas, ketiga senyawa menunjukkan sifat non-karsinogenik. Untuk parameter toksisitas oral akut, asam gentisat dan asam homogentisat menunjukkan profil toksisitas oral akut sedikit toksik dengan nilai berturut-turut sebesar 1.906 dan 1.879 kg/mol sehingga termasuk ke dalam golongan toksisitas oral akut kategori III. Sementara asam kafeat memiliki profil toksisitas tidak toksik dengan nilai 2.383 kg/mol dan termasuk kategori kelas IV. Untuk parameter sensitisasi kulit, ketiga senyawa bersifat memicu sensitisasi kulit.



BAB V

PENUTUP

A. Kesimpulan

Dari hasil penelitian yang telah dilakukan dapat disimpulkan:

1. Analisis simulasi *molecular docking* menunjukkan senyawa asam fenolat yang berpotensi sebagai inhibitor tirosinase adalah asam kafeat. Asam kafeat memiliki konformasi pengikatan paling stabil pada enzim tirosinase dengan nilai ΔG yaitu -6,5 kkal/mol.
2. Visualisasi hasil *molecular docking* menginformasikan bahwa asam kafeat berinteraksi dengan residu asam amino His208 dan Val218.
3. Prediksi *drug-likeness* dan profil ADMET menunjukkan bahwa asam kafeat memenuhi aturan Lipinski; memiliki profil absorpsi, distribusi, metabolisme, yang lebih baik dibandingkan asam kojat, profil toksisitas kelas IV (tidak toksik) dan dapat memicu sensitisasi kulit.

B. Implikasi Penelitian

Penelitian *in silico* ini masih bersifat prediksi sehingga memerlukan penelitian lanjutan secara *in vitro* dan *in vivo*.

KEPUSTAKAAN

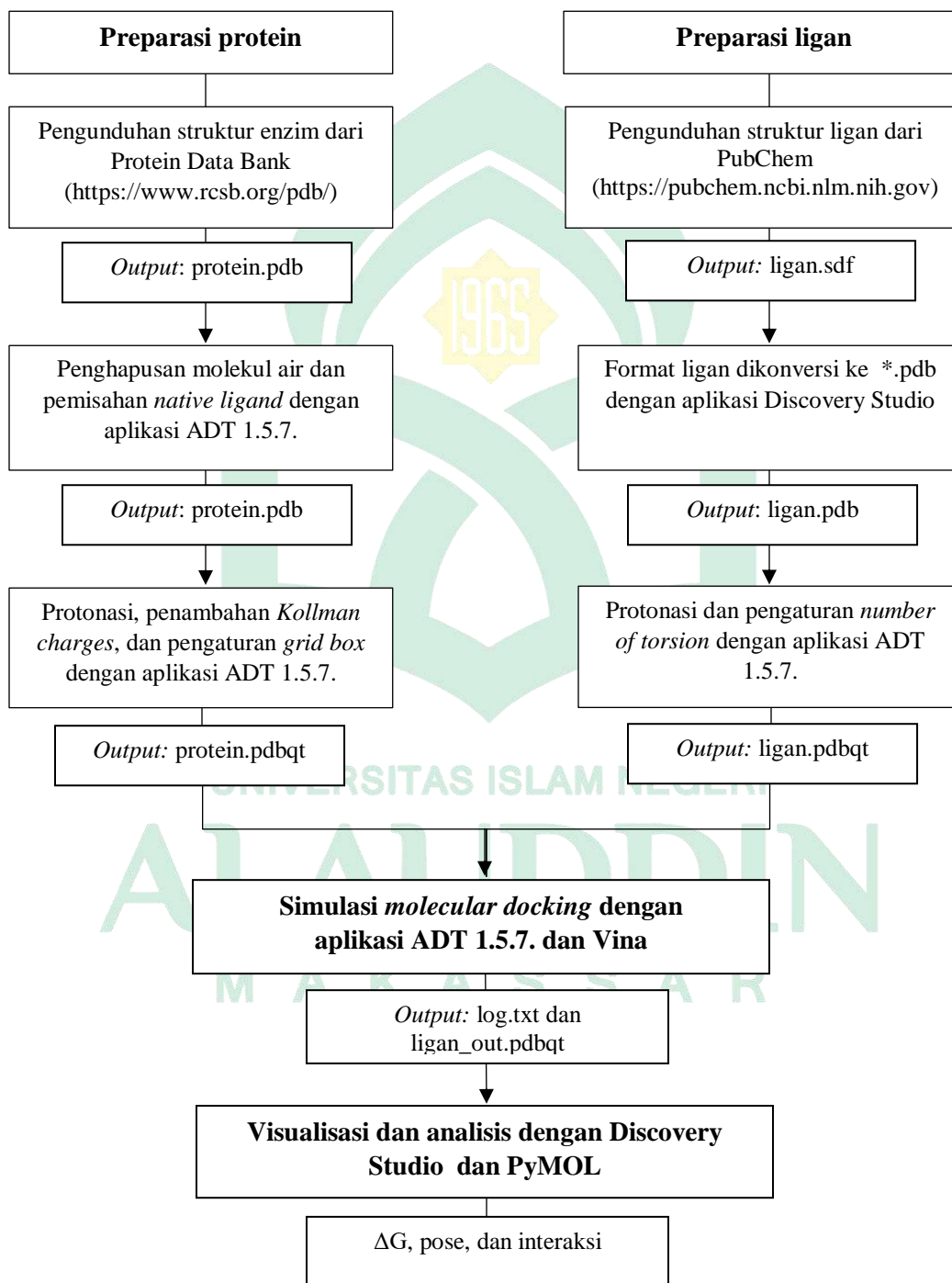
- Achmad, Mugiono, Arlianti, T., & Azmi, C. (2011). *Panduan Lengkap Jamur*. Depok: Penebar Swadaya.
- Alam, N., Yoon, K. N., Lee, K. R., & Gyun, P. S. (2010). Antioxidant Activities and Tyrosinase Inhibitory Effects of Different Extracts from *Pleurotus ostreatus* Fruiting Bodies. *Mycobiology*, 38(4), 295-301.
- Bruice, P. Y. (2014). *Organic Chemistry, 7th Edition*. United States: Pearson.
- Daina, A., Michielin, O., & Zoete, V. (2017). SwissADME: A Free Web Tool to Evaluate Pharmacokinetics, Drug-Likeness and Medicinal Chemistry Friendliness of Small Molecules. *Scientific Reports*, 1-13.
- Deri, B., Kanteev, M., Goldfeder, M., Lecina, D., Guallar, V., Adir, N., & Fishman, A. (2015). The Unravelling of the Complex Pattern of Tyrosinase Inhibition. 1-10.
- Golak-Siwulska, I., Kałużewicz, A., Spizewski, T., Siwulski, M., & Sobieralski, K. (2018). Bioactive Compounds and Medicinal Properties of Oyster Mushrooms (*Pleurotus* sp.). *Folia Horticulturae*, vo. 30(2).
- Heleno, S. A., Martins, A., Queiroz, M. J., & Ferreira, I. C. (2015). Bioactivity of Phenolic Acids: Metabolites Versus Parent Compound: A Review. *Food Chemistry*, 173, 501–513.
- Ibrahim, Z. Y., Uzairu, A., Shallangwa, G. A., & Abechi, S. E. (2021). Pharmacokinetic Predictions and Docking Studies of Substituted Aryl Amine-Based Triazolopyrimidine Designed Inhibitors of Plasmodium falciparum Dihydroorotate Dehydrogenase (PfDHODH). *Future Journal of Pharmaceutical Sciences*, 2-10.
- Ikawati, Z. (2014). *Farmakologi Molekuler: Target Aksi Obat dan Mekanisme Molekulernya*. Yogyakarta: Gadjah Mada University Press.
- Imaniastuti, R. (2011). *Simulasi Dinamika Molekuler Neuroaminidase Virus Influenza A Subtipe H1N1 dengan Inhibitor Potensial Peptida Siklis Disulfida (DNL, LRL, NNY)*. Depok: Universitas Indonesia.
- Khaerunnisa, S., Suhartati, & Awaluddin, R. (2020). *Penelitian In Silico Untuk Pemula*. Surabaya: Airlangga University Press.

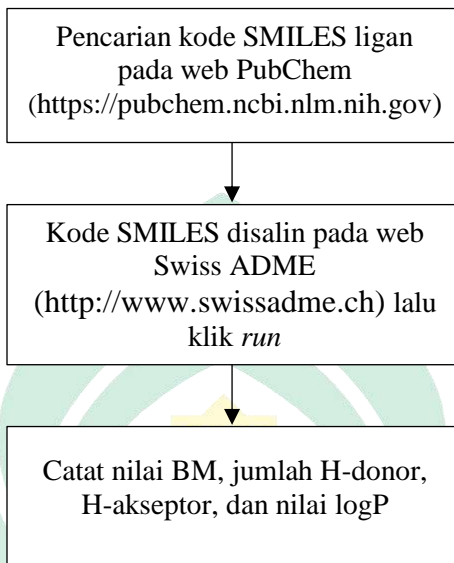
- Lemke, T. L., & Williams, D. A. (2013). *Foye's Principles of Medicinal Chemistry*. (7th ed.). Philadelphia: Wolters Kluwer Health.
- Lipinski, C. A., Lombardo, F., Dominy, B. W., Feeney, & J., P. (2001). Experimental and Computational Approaches to Estimate Solubility and Permeability in Drug Discovery and Development Settings. *Advanced Drug Delivery Reviews*, 3-26.
- Lukitaningsih, E., Wisnusaputra, A., & Sudarmanto, B. S. (2015). Skrining In Silico Senyawa Aktif Bengkoang (*Pachyrrhizus erosus*) sebagai Antitirosinase pada *Aspergillus oryzae* (Studi Komputasional Dengan Homology Modeling dan Molecular Docking). *Traditional Medicine Journal*, 20(1), 7-15.
- Masum, M. N., Yamauchi, K., & Mitsunaga, T. (2019). Tyrosinase Inhibitors from Natural and Synthetic Sources as Skin-lightening Agents. *Agricultural Science*, 41-58.
- Muchtaridi, Yanuar, Megantara, S., & Purnomo, H. (2018). *Kimia Medisinal: Dasar-dasar dalam Perancangan Obat*. Jakarta: Paramedia Group.
- Nautiyal, A., & Wirkar, S. (2021). Management of Hyperpigmentation: Current Treatments and Emerging Therapies. *Pigment Cell & Melanoma Research*, 34(6), 1000-1014.
- Nelson, D. L., & Cox, M. M. (2013). *Principles of Biochemistry Sixth Edition*. New York: W. H. Freeman and Company.
- Panzella, L., & Napolitano, A. (2019). Review: Natural and Bioinspired Phenolic Compounds as Tyrosinase Inhibitors for the Treatment of Skin Hyperpigmentation: Recent Advances. *Cosmetics*, 1-33.
- Patrick, G. L. (2013). *An Introduction to Medicinal Chemistry* (Fifth Edition ed.). Oxford, United Kingdom: Oxford University Press.
- Pillaiyar, T., Manickam, M., & Namasivayam, V. (2017). Skin Whitening Agents: Medicinal Chemistry Perspective of Tyrosinase Inhibitors. *Journal of Enzyme Inhibition and Medicinal Chemistry*, 32(1), 403–425.
- Piska, K., Sułkowska-Ziaja, K., & Muz, B. (2017). Edible Mushroom *Pleurotus ostreatus* (Oyster Mushroom) – Its Dietary Significance and Biological Activity. *Acta Scientiarum Polonorum Hortorum Cultus*, 151–161.
- Selvamani, S., El-Enshasy, H. A., Dailin, D. J., & Abd Malek, R. (2018). Antioxidant Compounds of the Edible Mushroom *Pleurotus ostreatus*. *International Journal of Biotechnology for Wellness Industries*, 7, 1-14.

- Shihab, M. Q. (2003). *Tafsir Al-Mishbah. Volume 13: Surah Ad-Dukhan, Surah Al-Jatsiyah, Surah Al-Ahqaf, Surah Muhammad, Surah Al-Fath, Surah Al-Hujurat, Surah Qaf, Surah Adz-Dzariyat, Surah Ath-Thur, Surah An-Najm, Surah Al-Qamar, Surah Ar-Rahman, Surah Al-Waqi'ah*. Jakarta: Lentera Hati.
- Shin, H. K., Kang, Y.-M., & No, K. T. (2016). Predicting ADME Properties of Chemicals. In *Handbook of Computational Chemistry* (pp. 1-37). United States: Springer Science.
- Siswandono, & Soekardjo, B. (1998). *Prinsip-prinsip Rancangan Obat*. Surabaya: Airlangga University Press.
- Stank, A., Kokh, D. B., Fuller, J. C., & Wade, R. C. (2016). Protein Binding Pocket Dynamics. *Accounts of Chemical research*, 49, 809-815.
- Syahputra, G. (2014). *Tesis: Simulasi Docking Senyawa Kurkumin dan Analognya Sebagai Inhibitor Enzim 12-Lipoksigenase*. Bogor: Institut Pertanian Bogor.
- Taofiq, O., González-Paramása, A. M., Martins, A., & Barreiro, M. F. (2016). Mushrooms extracts and compounds in cosmetics, cosmeceuticals and nutricosmetics—A Review. *Industrial Crops and Products*, 38–48.
- Trott, O., & Olson, A. J. (2010). AutoDock Vina: Improving the Speed and Accuracy of Docking with a New Scoring Function, Efficient Optimization and Multithreading. *J Comput Chem.*, 31(2), 455-461.
- Widodo, Utomo, D. H., Ramadhani, A. N., Hasanah, A., & Fitriah, A. (2018). *Cara Mudah Melakukan Docking dengan PyRx (AutoDock Vina)*. Malang: Global Science.
- Zolghadri, S., Bahrami, A., Khan, M. T., Munoz-Munoz, J., Garcia-Molina, F., Garcia-Canovas, F., & Saboury, A. A. (2019). A Comprehensive Review on Tyrosinase Inhibitors. *Journal of Enzyme Inhibition and Medicinal Chemistry*, vol. 34(no. 1), 279–309.
- <https://www.rcsb.org/>
- <https://pubchem.ncbi.nlm.nih.gov/>
- lmd.ecust.edu.cn/admet2/
- <https://www.gbif.org/species/2526530>
- <http://www.swissadme.ch/>

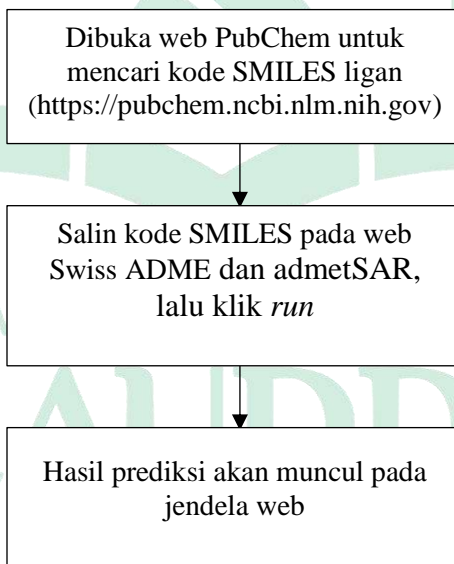
LAMPIRAN

Lampiran 1. Skema kerja

a. *Molecular docking*

b. Prediksi *drug-likeness*

c. Prediksi ADMET



Lampiran 2. Hasil *docking* ligan uji pada protein 5I38

a. Asam ferulat

```
#
# O. Trott, A. J. Olson,
# AutoDock Vina: improving the speed and accuracy of docking
# with a new scoring function, efficient optimization and
# multithreading, Journal of Computational Chemistry 31 (2010)
# 455-461
#
# DOI 10.1002/jcc.21334
#
# Please see http://vina.scripps.edu for more information.
#####

Output will be asam_ferulat_out.pdbqt
Detected 4 CPUs
Reading input ... done.
Setting up the scoring function ... done.
Analyzing the binding site ... done.
Using random seed: 1615895348
Performing search ... done.
Refining results ... done.

mode | affinity | dist from best mode
| (kcal/mol) | rmsd l.b. | rmsd u.b.
-----+-----+-----+-----
1      -5.8    0.000    0.000
2      -5.7    1.625    1.628
3      -5.6    2.925    5.009
4      -5.5    1.054    1.246
5      -5.2    1.196    2.098
6      -5.1    1.626    2.262
7      -5.0    1.935    5.866
8      -4.9    2.723    5.792
9      -4.7    1.896    6.002
10     -4.5    2.930    5.903

Writing output ... done.
```

b. Asam galat

```
#
# O. Trott, A. J. Olson,
# AutoDock Vina: improving the speed and accuracy of docking
# with a new scoring function, efficient optimization and
# multithreading, Journal of Computational Chemistry 31 (2010)
# 455-461
#
# DOI 10.1002/jcc.21334
#
# Please see http://vina.scripps.edu for more information.
#####

Output will be asam_galat_out.pdbqt
Detected 4 CPUs
Reading input ... done.
Setting up the scoring function ... done.
Analyzing the binding site ... done.
Using random seed: 974583480
Performing search ... done.
Refining results ... done.

mode | affinity | dist from best mode
| (kcal/mol) | rmsd l.b. | rmsd u.b.
-----+-----+-----+-----
1      -6.0    0.000    0.000
2      -6.0    0.014    2.402
3      -5.8    1.617    3.331
4      -5.8    1.612    3.035
5      -5.6    1.155    4.634
6      -5.6    1.175    4.085
7      -5.0    1.346    4.446
8      -5.0    2.642    4.717
9      -5.0    1.430    2.180
10     -5.0    1.423    2.998

Writing output ... done.
```

c. Asam gentisat

```
#
# O. Trott, A. J. Olson,
# AutoDock Vina: improving the speed and accuracy of docking
# with a new scoring function, efficient optimization and
# multithreading, Journal of Computational Chemistry 31 (2010)
# 455-461
#
# DOI 10.1002/jcc.21334
#
# Please see http://vina.scripps.edu for more information.
#####

Output will be asam_gentisat_out.pdbqt
Detected 4 CPUs
Reading input ... done.
Setting up the scoring function ... done.
Analyzing the binding site ... done.
Using random seed: -1301540572
Performing search ... done.
Refining results ... done.

mode | affinity | dist from best mode
| (kcal/mol) | rmsd l.b. | rmsd u.b.
-----+-----+-----+-----
1      -6.1    0.000    0.000
2      -6.1    1.548    4.324
3      -5.9    1.324    3.257
4      -5.5    1.906    3.860
5      -5.4    1.411    2.606
6      -5.4    1.586    3.622
7      -5.3    1.435    4.351
8      -5.1    1.389    2.849
9      -5.0    1.245    2.786
10     -4.9    1.580    3.538

Writing output ... done.
```

d. Asam homogentisat

```
#
# O. Trott, A. J. Olson,
# AutoDock Vina: improving the speed and accuracy of docking
# with a new scoring function, efficient optimization and
# multithreading, Journal of Computational Chemistry 31 (2010)
# 455-461
#
# DOI 10.1002/jcc.21334
#
# Please see http://vina.scripps.edu for more information.
#####

Output will be asam_homogentisat_out.pdbqt
Detected 4 CPUs
Reading input ... done.
Setting up the scoring function ... done.
Analyzing the binding site ... done.
Using random seed: -255345120
Performing search ... done.
Refining results ... done.

mode | affinity | dist from best mode
| (kcal/mol) | rmsd l.b. | rmsd u.b.
-----+-----+-----+-----
1      -6.3    0.000    0.000
2      -6.2    1.453    1.544
3      -6.1    0.593    2.761
4      -6.1    0.966    3.019
5      -5.8    1.547    3.320
6      -5.7    1.677    2.801
7      -5.5    1.441    1.856
8      -5.5    1.522    3.491
9      -5.4    1.830    4.340
10     -5.4    1.643    4.661

Writing output ... done.
```

e. Asam kafeat

```
#
# O. Trott, A. J. Olson,
# AutoDock Vina: improving the speed and accuracy of docking
# with a new scoring function, efficient optimization and
# multithreading, Journal of Computational Chemistry 31 (2010)
# 455-461
#
# DOI 10.1002/jcc.21334
#
# Please see http://vina.scripps.edu for more information.
#####

Output will be asam_kafeat_out.pdbqt
Detected 4 CPUs
Reading input ... done.
Setting up the scoring function ... done.
Analyzing the binding site ... done.
Using random seed: -871572588
Performing search ... done.
Refining results ... done.

mode | affinity | dist from best mode
| (kcal/mol) | rmsd l.b. | rmsd u.b.
-----|-----|-----|-----
1      -6.5    0.000    0.000
2      -5.9    1.194    5.876
3      -5.9    0.954    1.883
4      -5.8    1.281    5.721
5      -5.8    0.835    1.039
6      -5.7    1.700    5.604
7      -5.5    1.457    5.727
8      -4.7    2.357    2.525
9      -4.3    2.859    3.581
10     -4.2    3.425    4.341

Writing output ... done.
```

f. Asam klorogenat

```
#
# O. Trott, A. J. Olson,
# AutoDock Vina: improving the speed and accuracy of docking
# with a new scoring function, efficient optimization and
# multithreading, Journal of Computational Chemistry 31 (2010)
# 455-461
#
# DOI 10.1002/jcc.21334
#
# Please see http://vina.scripps.edu for more information.
#####

Output will be asam_klorogenat_out.pdbqt
Detected 4 CPUs
Reading input ... done.
Setting up the scoring function ... done.
Analyzing the binding site ... done.
Using random seed: -1973754560
Performing search ... done.
Refining results ... done.

mode | affinity | dist from best mode
| (kcal/mol) | rmsd l.b. | rmsd u.b.
-----|-----|-----|-----
1      -3.9    0.000    0.000
2      -3.8    1.213    2.951
3      -2.9    1.572    3.682
4      -2.7    2.011    5.229
5      -2.1    2.104    5.061
6      -2.1    2.128    4.335
7      -1.9    2.421    5.750
8      -1.1    2.167    5.435
9      -1.1    1.601    4.017
10     -1.1    1.857    6.059

Writing output ... done.
```

g. Asam p-hidroksibenzoat

```
#
# O. Trott, A. J. Olson,
# AutoDock Vina: improving the speed and accuracy of docking
# with a new scoring function, efficient optimization and
# multithreading, Journal of Computational Chemistry 31 (2010)
# 455-461
#
# DOI 10.1002/jcc.21334
#
# Please see http://vina.scripps.edu for more information.
#####

Output will be asam_p-hidroksibenzoat_out.pdbqt
Detected 4 CPUs
Reading input ... done.
Setting up the scoring function ... done.
Analyzing the binding site ... done.
Using random seed: 1602070704
Performing search ... done.
Refining results ... done.

mode | affinity | dist from best mode
| (kcal/mol) | rmsd l.b. | rmsd u.b.
-----|-----|-----|-----
1      -5.6    0.000    0.000
2      -5.6    0.015    1.528
3      -5.5    1.956    2.812
4      -5.4    2.476    3.506
5      -5.3    2.317    3.476
6      -5.3    2.294    3.408
7      -5.3    1.083    3.950
8      -5.2    0.980    4.325
9      -5.2    1.916    3.996
10     -5.2    1.098    2.225

Writing output ... done.
```

h. Asam p-kumarat

```
#
# O. Trott, A. J. Olson,
# AutoDock Vina: improving the speed and accuracy of docking
# with a new scoring function, efficient optimization and
# multithreading, Journal of Computational Chemistry 31 (2010)
# 455-461
#
# DOI 10.1002/jcc.21334
#
# Please see http://vina.scripps.edu for more information.
#####

Output will be asam_p-kumarat_out.pdbqt
Detected 4 CPUs
Reading input ... done.
Setting up the scoring function ... done.
Analyzing the binding site ... done.
Using random seed: -153741408
Performing search ... done.
Refining results ... done.

mode | affinity | dist from best mode
| (kcal/mol) | rmsd l.b. | rmsd u.b.
-----|-----|-----|-----
1      -5.9    0.000    0.000
2      -5.9    0.106    1.398
3      -5.8    1.120    5.722
4      -5.8    1.106    5.807
5      -5.6    1.732    2.096
6      -5.4    1.882    5.722
7      -4.1    2.963    5.830
8      -4.0    2.728    3.222
9      -3.9    3.134    3.824
10     -3.2    3.079    5.464

Writing output ... done.
```

i. Asam protokatekuat

```

# O. Trott, A. J. Olson,
# AutoDock Vina: improving the speed and accuracy of docking
# with a new scoring function, efficient optimization and
# multithreading, Journal of Computational Chemistry 31 (2010)
# 455-461
# DOI 10.1002/jcc.21334
# Please see http://vina.scripps.edu for more information.
#####

Output will be asam_protokatekuat_out.pdbqt
Detected 4 CPUs
Reading input ... done.
Setting up the scoring function ... done.
Analyzing the binding site ... done.
Using random seed: -181022504
Performing search ... done.
Refining results ... done.

mode | affinity | dist from best mode
      | (kcal/mol) | rmsd l.b. | rmsd u.b.
-----+-----+-----+-----
1      -6.0    0.000    0.000
2      -5.8    1.517    2.716
3      -5.8    1.862    2.550
4      -5.6    1.441    4.417
5      -5.4    1.369    4.523
6      -5.3    1.040    4.096
7      -5.3    1.332    2.249
8      -5.3    2.015    3.028
9      -5.3    1.326    4.106
10     -5.2    1.542    3.881

Writing output ... done.

```

j. Asam sinamat

```

# O. Trott, A. J. Olson,
# AutoDock Vina: improving the speed and accuracy of docking
# with a new scoring function, efficient optimization and
# multithreading, Journal of Computational Chemistry 31 (2010)
# 455-461
# DOI 10.1002/jcc.21334
# Please see http://vina.scripps.edu for more information.
#####

Output will be asam_sinamat_out.pdbqt
Detected 4 CPUs
Reading input ... done.
Setting up the scoring function ... done.
Analyzing the binding site ... done.
Using random seed: -2031738744
Performing search ... done.
Refining results ... done.

mode | affinity | dist from best mode
      | (kcal/mol) | rmsd l.b. | rmsd u.b.
-----+-----+-----+-----
1      -6.0    0.000    0.000
2      -6.0    0.021    1.457
3      -5.8    1.577    2.421
4      -5.8    1.596    1.956
5      -5.6    2.929    5.111
6      -5.6    2.941    5.213
7      -5.6    1.339    1.522
8      -5.6    3.112    5.153
9      -5.3    3.936    5.468
10     -5.2    3.299    5.048

Writing output ... done.

```

k. Asam sinapat

```

# O. Trott, A. J. Olson,
# AutoDock Vina: improving the speed and accuracy of docking
# with a new scoring function, efficient optimization and
# multithreading, Journal of Computational Chemistry 31 (2010)
# 455-461
# DOI 10.1002/jcc.21334
# Please see http://vina.scripps.edu for more information.
#####

Output will be asam_sinapat_out.pdbqt
Detected 4 CPUs
Reading input ... done.
Setting up the scoring function ... done.
Analyzing the binding site ... done.
Using random seed: 1591290064
Performing search ... done.
Refining results ... done.

mode | affinity | dist from best mode
      | (kcal/mol) | rmsd l.b. | rmsd u.b.
-----+-----+-----+-----
1      -5.2    0.000    0.000
2      -5.2    0.082    3.110
3      -5.2    1.998    3.071
4      -5.2    2.081    3.075
5      -5.0    2.059    2.779
6      -4.9    1.758    5.701
7      -4.7    2.148    6.000
8      -4.7    2.027    5.792
9      -4.5    2.362    2.738
10     -4.1    2.225    4.139

Writing output ... done.

```

l. Asam vanilat

```

# O. Trott, A. J. Olson,
# AutoDock Vina: improving the speed and accuracy of docking
# with a new scoring function, efficient optimization and
# multithreading, Journal of Computational Chemistry 31 (2010)
# 455-461
# DOI 10.1002/jcc.21334
# Please see http://vina.scripps.edu for more information.
#####

Output will be asam_vanilat_out.pdbqt
Detected 4 CPUs
Reading input ... done.
Setting up the scoring function ... done.
Analyzing the binding site ... done.
Using random seed: 1700785448
Performing search ... done.
Refining results ... done.

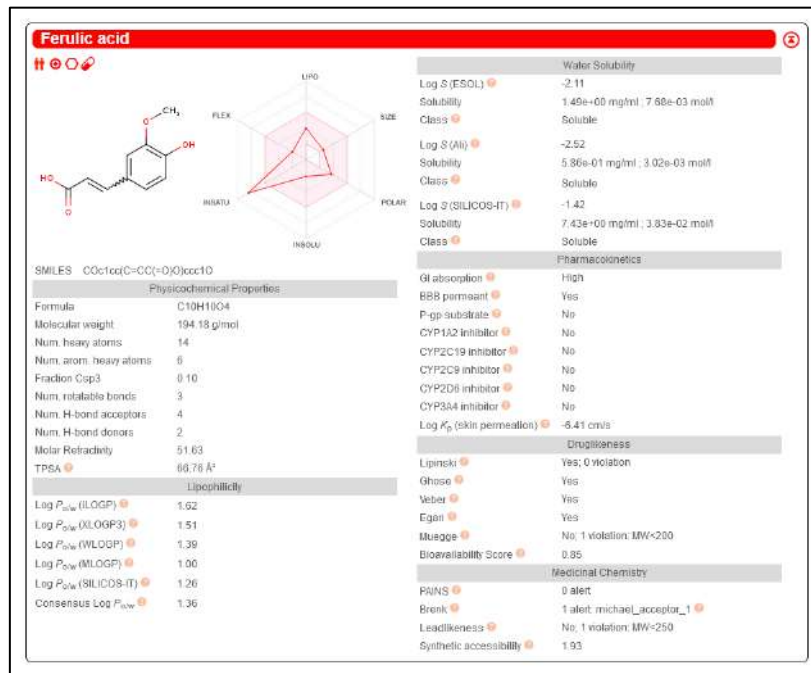
mode | affinity | dist from best mode
      | (kcal/mol) | rmsd l.b. | rmsd u.b.
-----+-----+-----+-----
1      -5.8    0.000    0.000
2      -5.8    1.289    2.764
3      -5.7    1.251    4.750
4      -5.6    1.242    4.232
5      -5.4    1.870    3.374
6      -5.4    1.329    1.527
7      -5.4    1.131    4.000
8      -5.3    2.339    4.870
9      -5.1    1.528    3.101
10     -5.0    1.438    4.883

Writing output ... done.

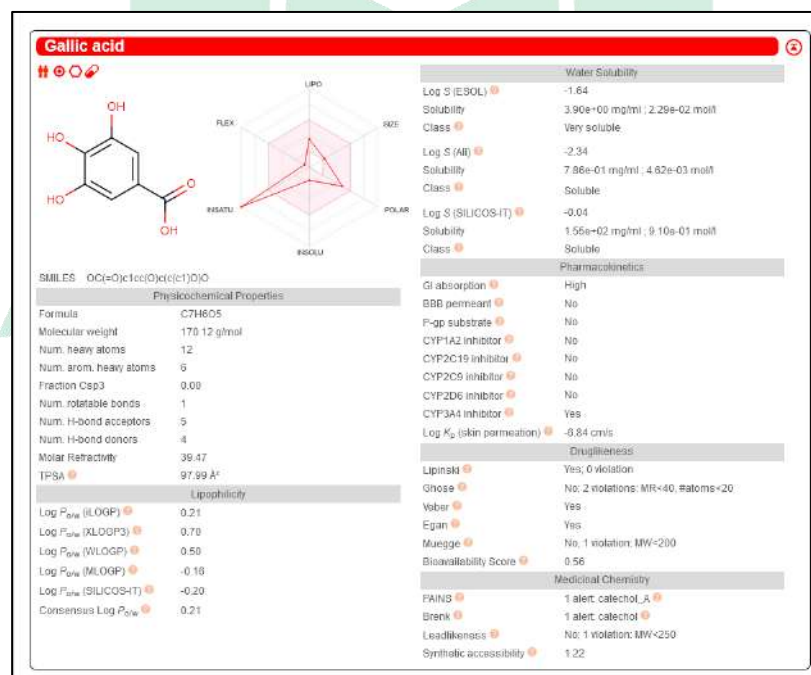
```


Lampiran 3. Hasil prediksi *drug-likeness*

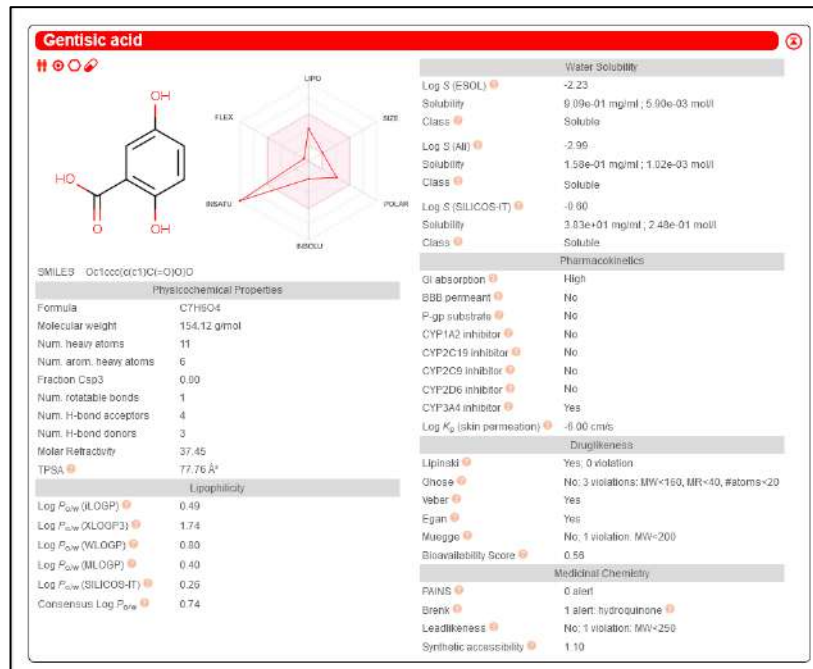
a. Asam ferulat



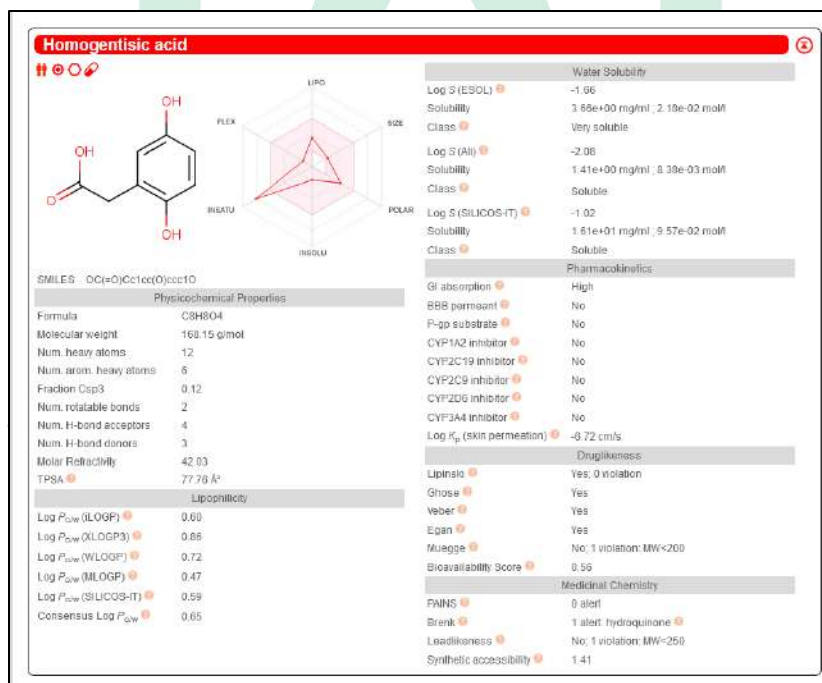
b. Asam galat



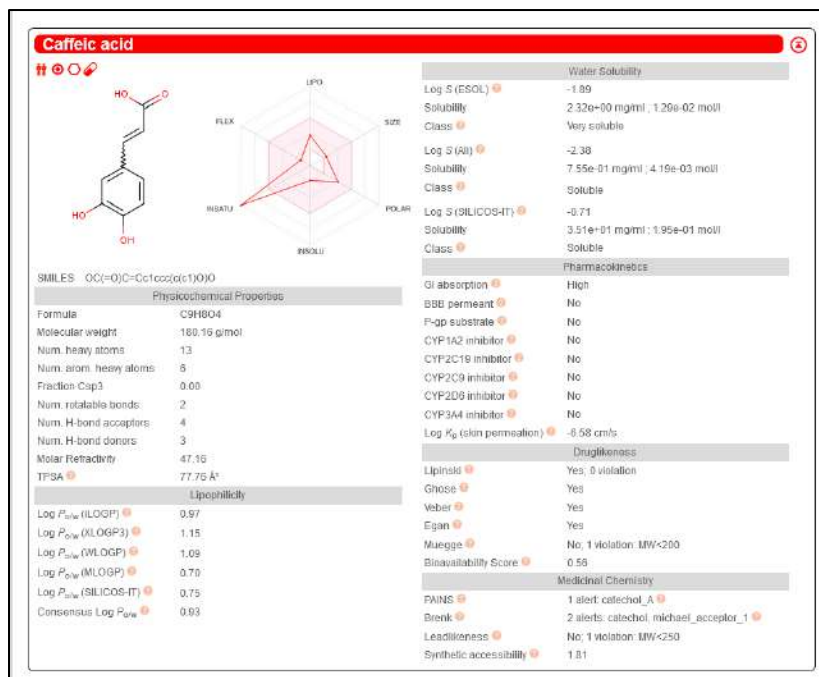
c. Asam gentisat



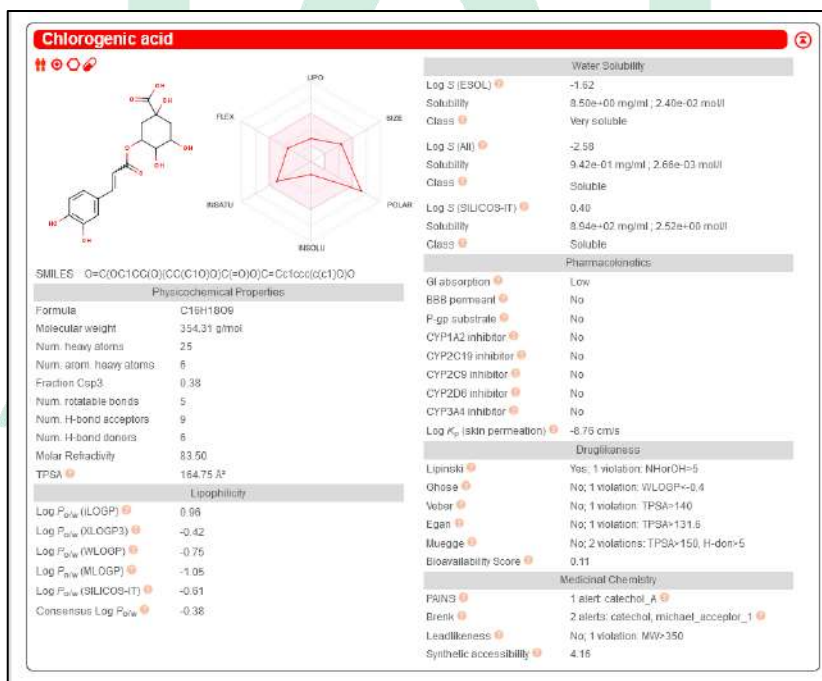
d. Asam homogentisat



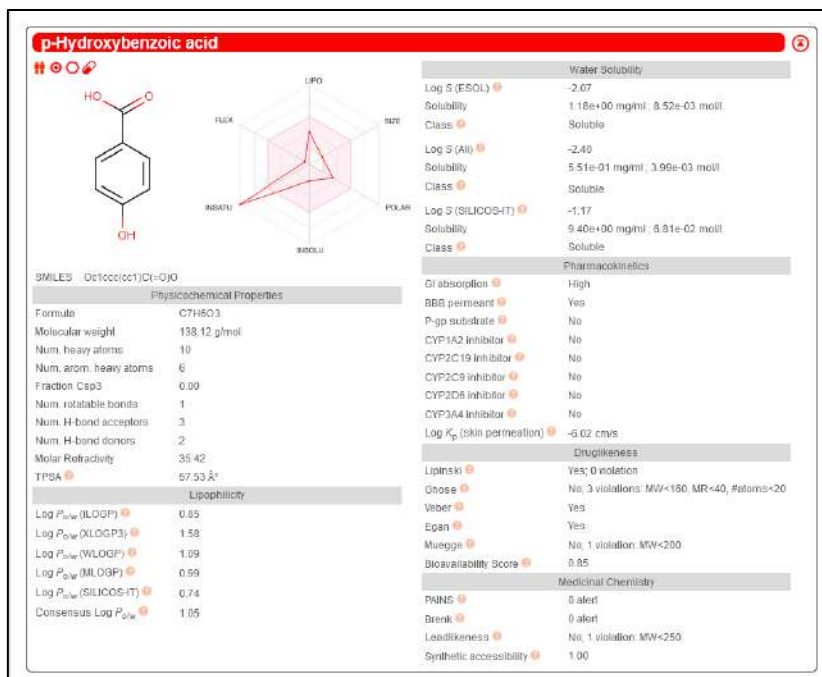
e. Asam kafeat



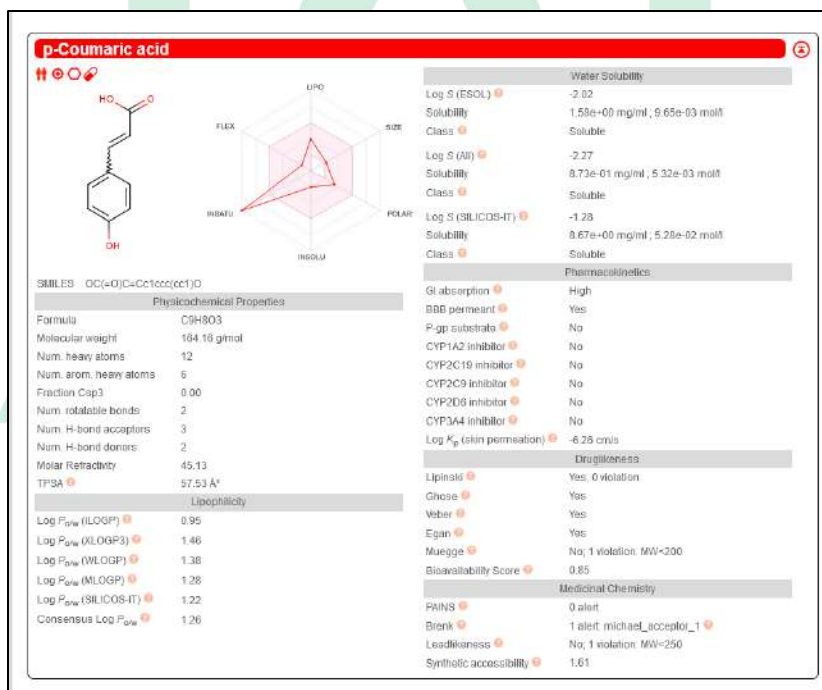
f. Asam klorogenat



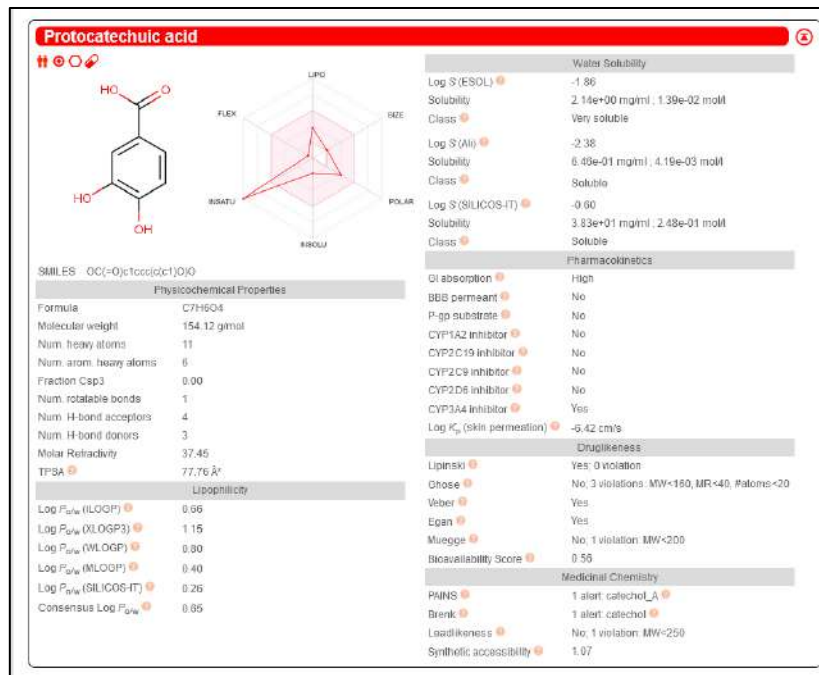
g. Asam p-hidroksibenzoat



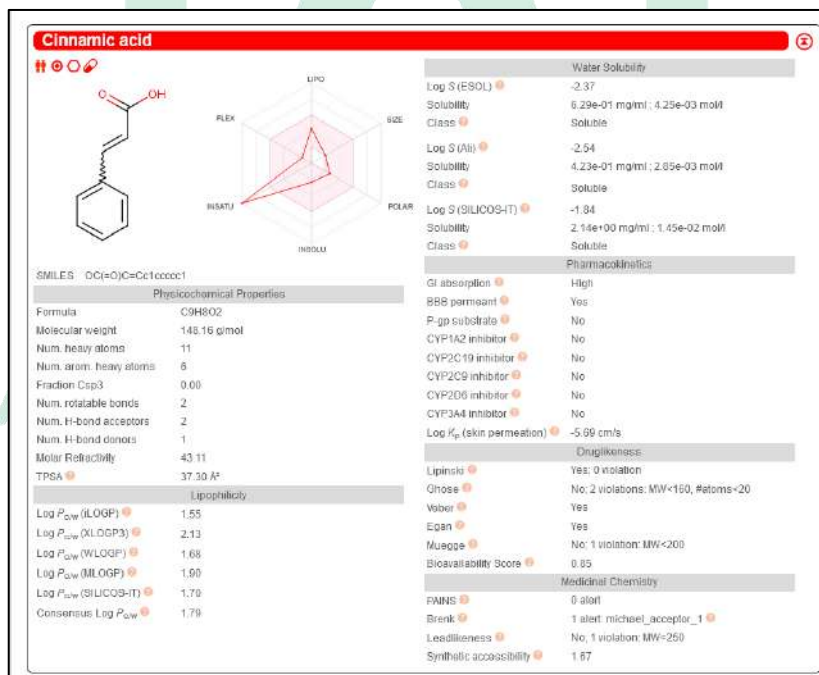
h. Asam p-kumarat



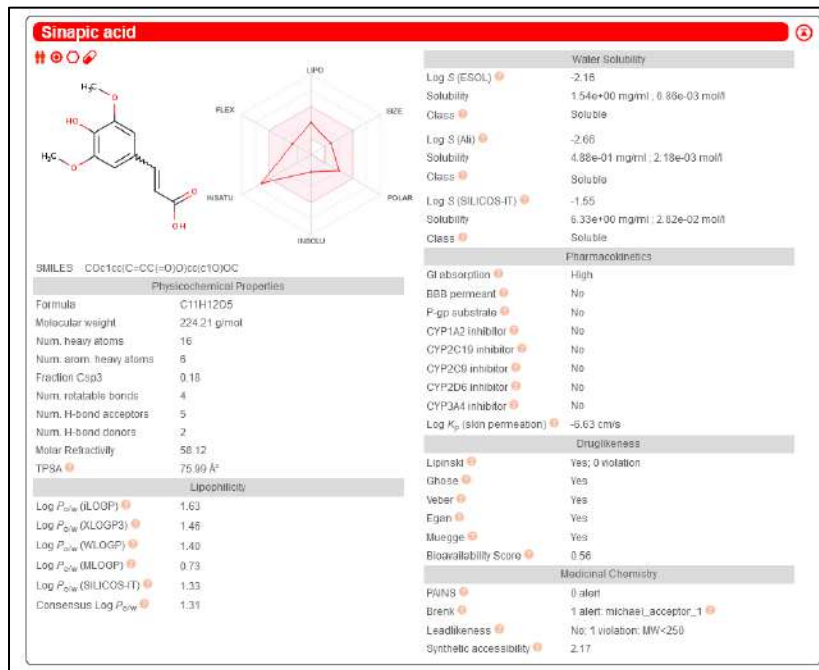
i. Asam protocatekuat



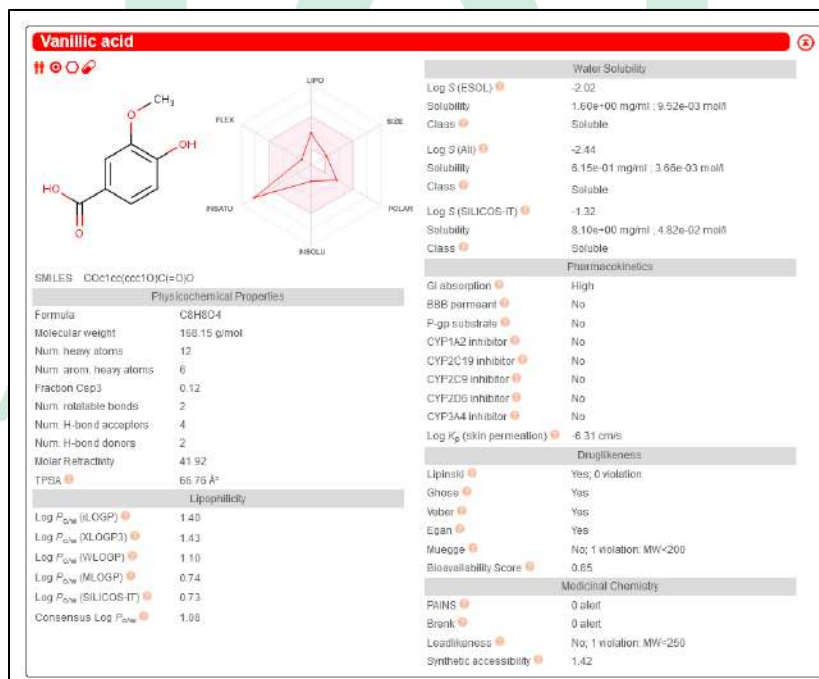
j. Asam sinamat



k. Asam sinapat



l. Asam vanilat



DAFTAR RIWAYAT HIDUP

Hafifah Nurfaidah, lahir di Padang Sappa Kabupaten Luwu pada tanggal 24 Oktober 1996. Penulis merupakan anak pertama dari dua bersaudara dari pasangan Zulfikar, S.Ag. dan Jumriati Hasan. Pendidikan dasar ditempuh di SD Negeri 13 Ujung Loe dan pendidikan menengah di SMP PGRI Minasate'ne dan SMA Negeri 2 Pangkajene (sekarang SMA Negeri 11 Pangkep). Pada tahun 2015, penulis terdaftar sebagai mahasiswa program sarjana di Universitas Islam Negeri Alauddin Makassar pada Fakultas Kedokteran dan Ilmu Kesehatan Program Studi Farmasi hingga selesainya skripsi ini.

